

Meteorits

INTRODUCCIÓ,
RECONEIXEMENT I RECERCA

Dr. Jordi Llorca i Piqué



David Allepuz i Sunyé

Meteorits.cat
Cazameteoritos.es



UNIVERSITAT DE
BARCELONA



J.V.Casado – David Allepuz – Jordi Ilorca – Emma Ardanaz – Ion Ander Lanza



Javier Álvarez – Carlos Alonso – Alexia Sempere – Tonino Licciardello – Emilio Gilabert –
Josep M.Bosch – Francisco Galvez – José A. Sánchez

INTRODUCCIÓ ALS METEORITS



WILLAMETTE

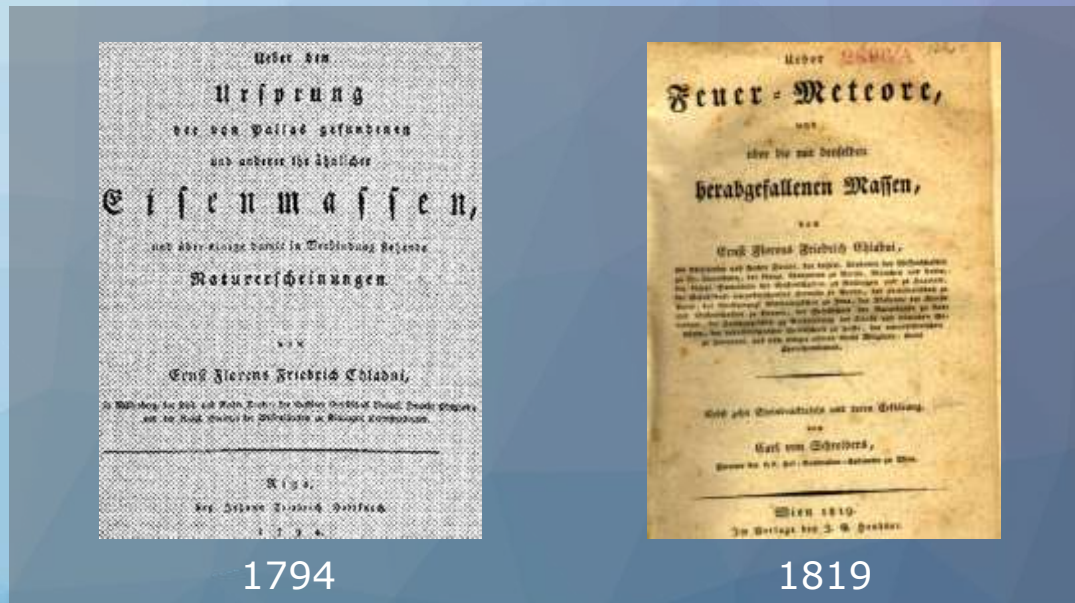
Núm. 20 de la collada

Estacada, Oregon

Lluís Mas Miquel - 2001



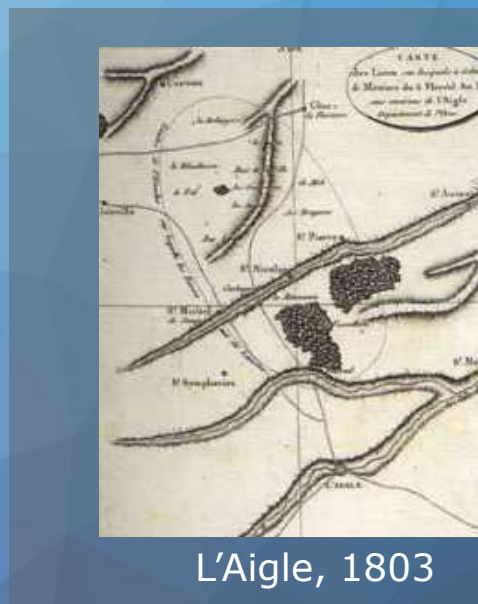
E.F. Chladni



1794

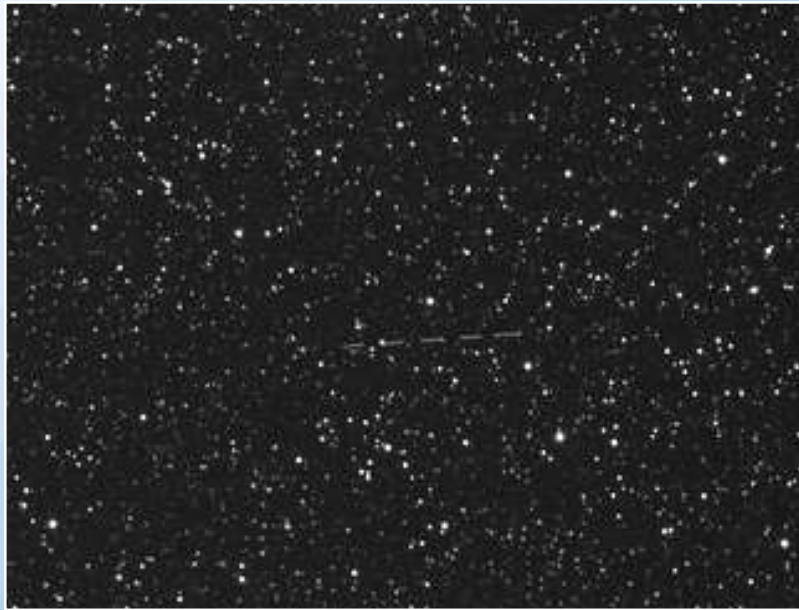


J.B. Biot

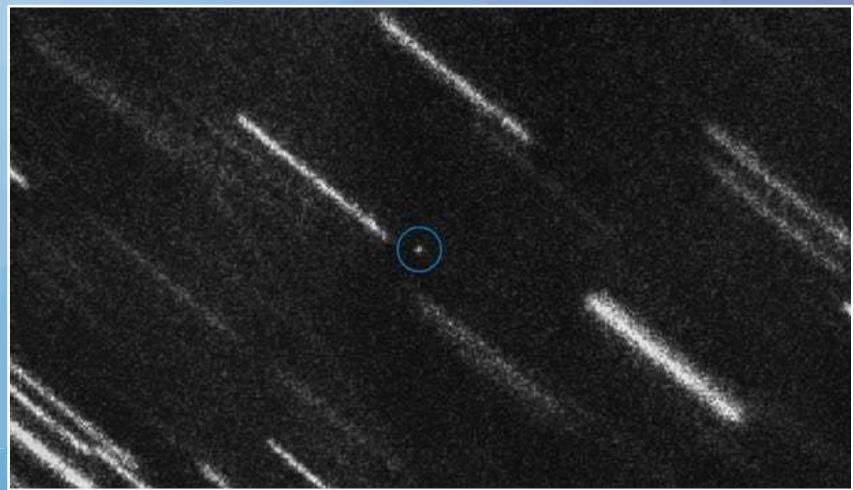


L'Aigle, 1803





Meteoroide



Meteor (estel fugaç)



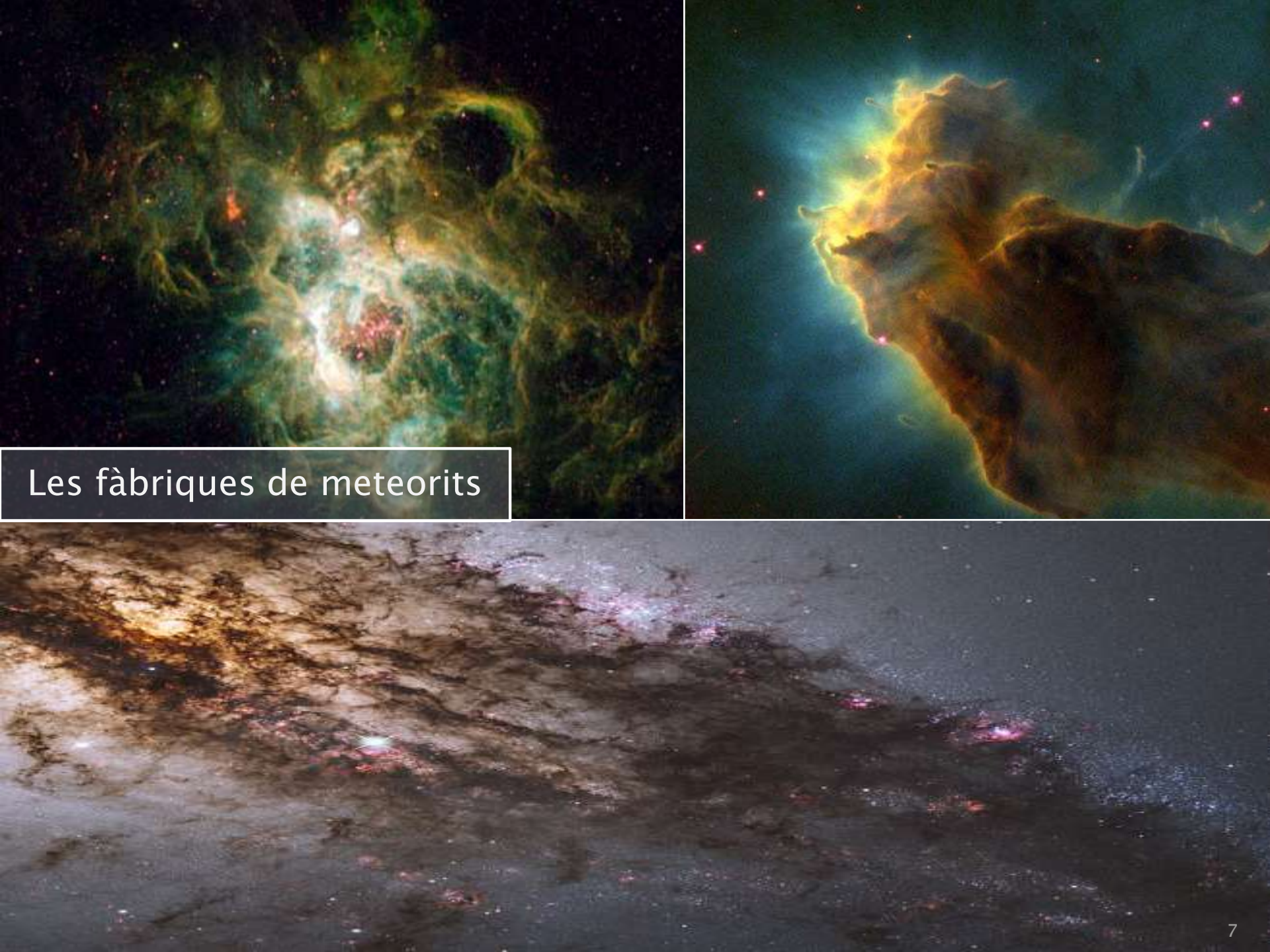


Bòlid



Meteorit

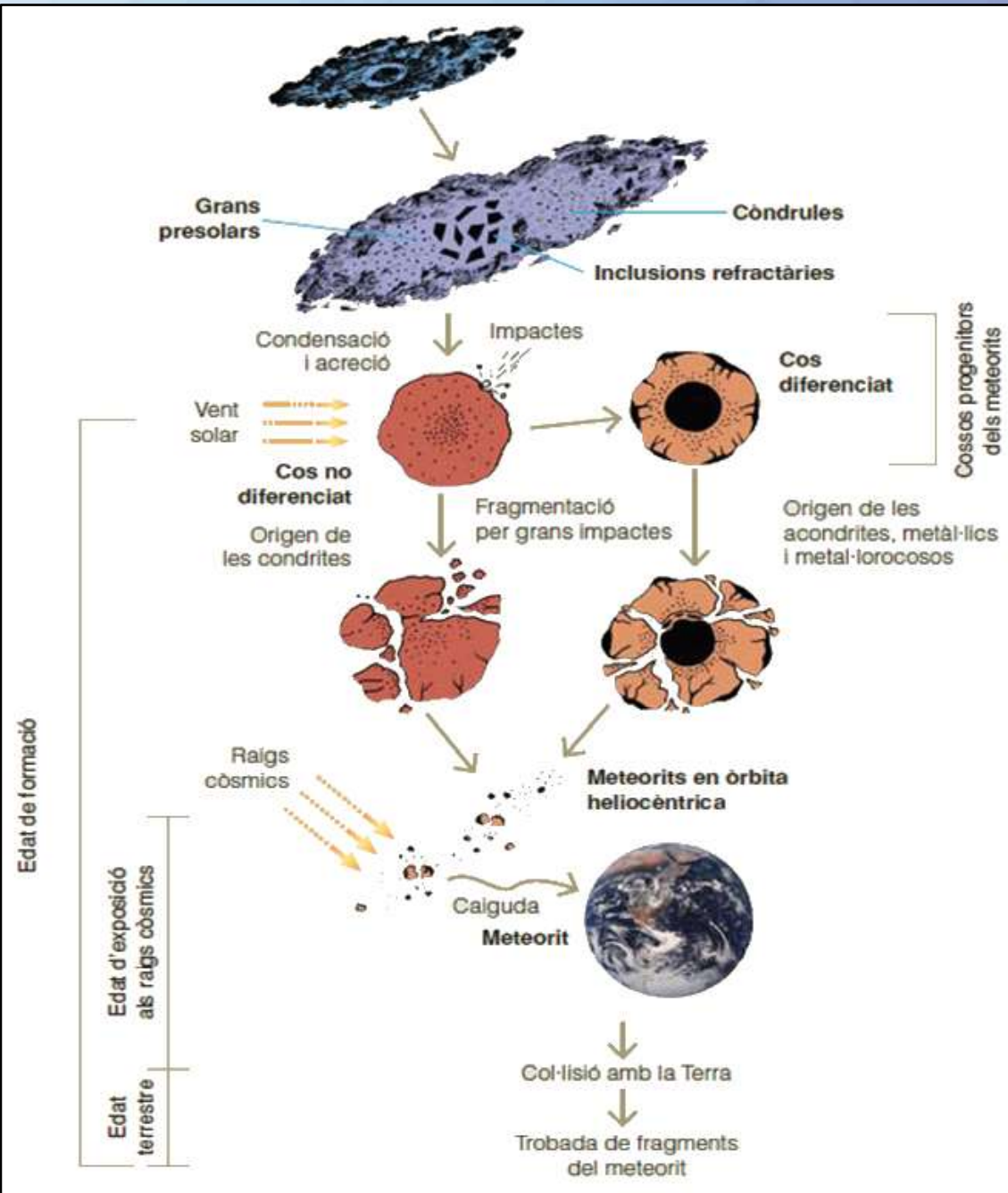


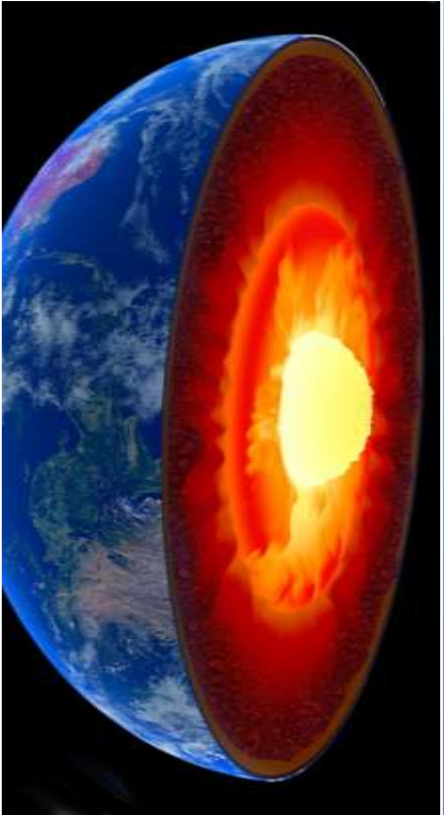


Les fàbriques de meteorits

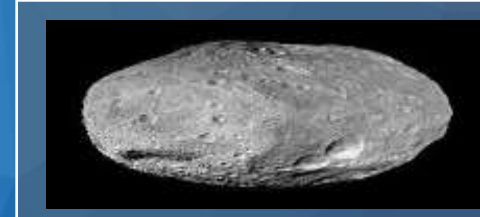
13.500 millions d'anys

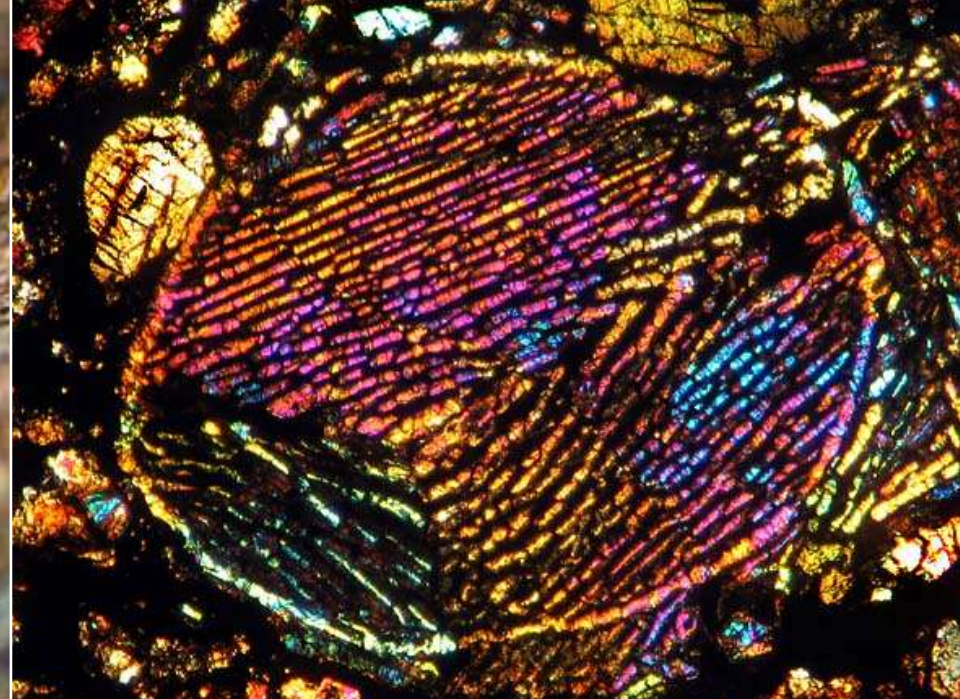
4.500 millions d'anys



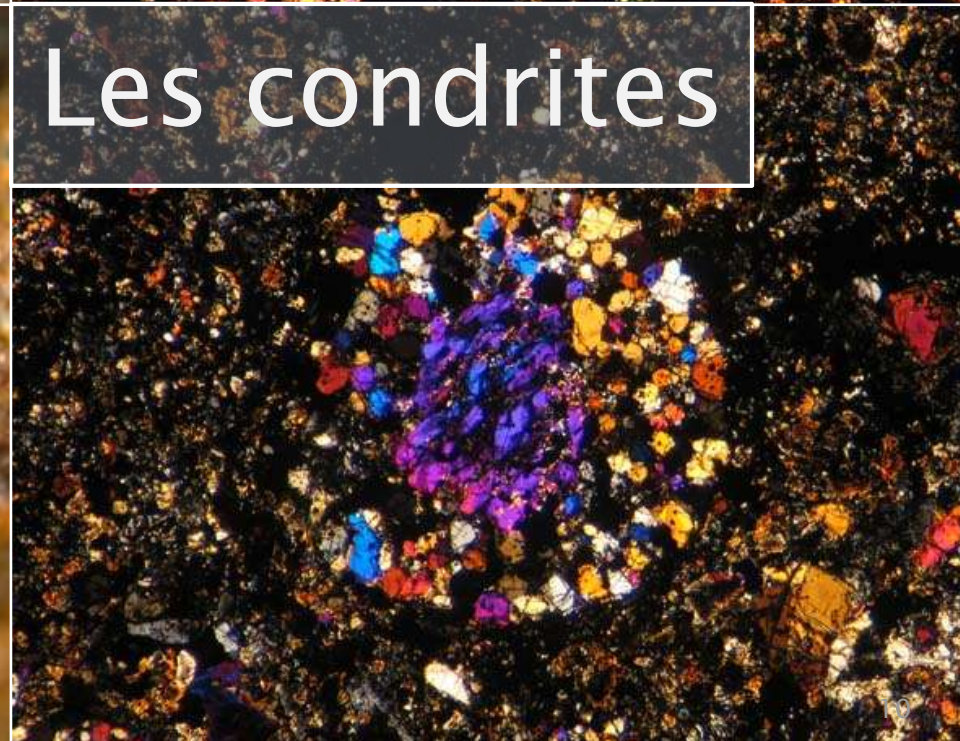


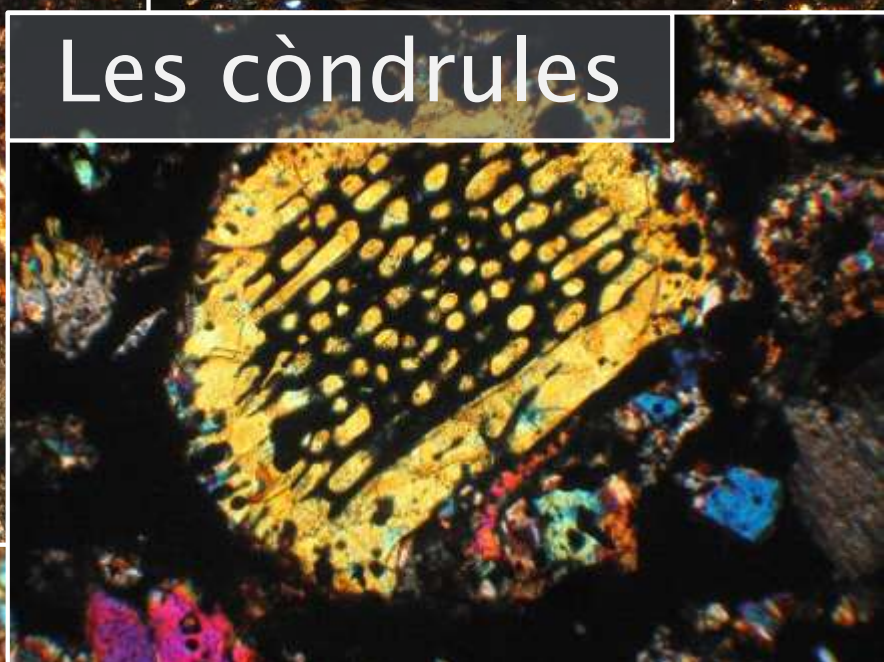
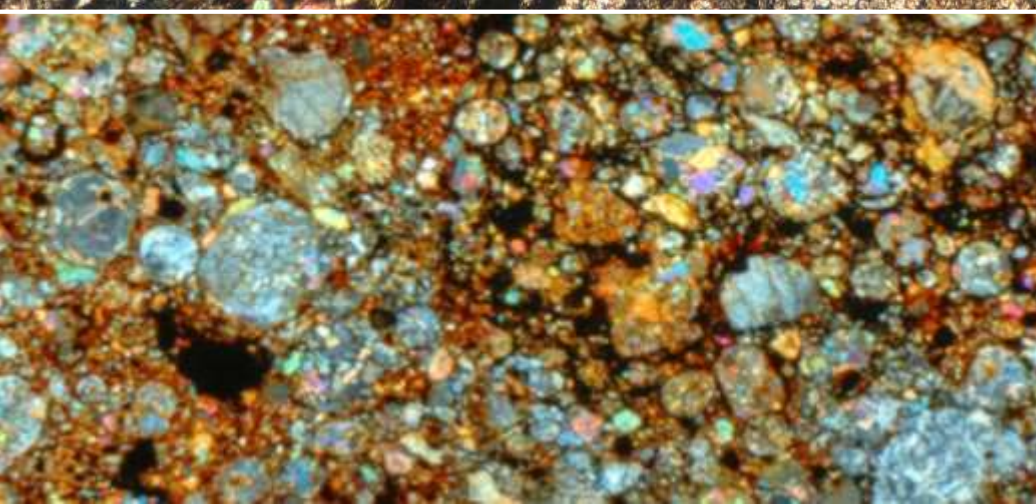
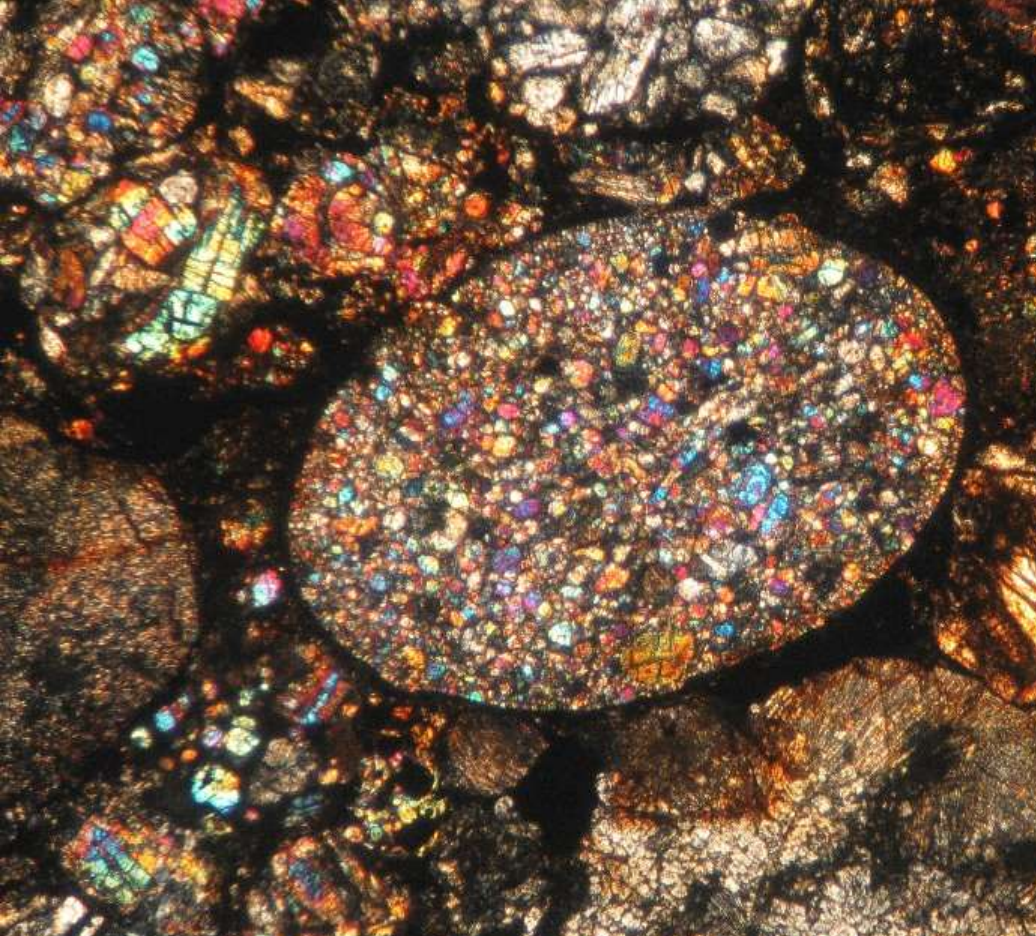
No diferenciat		Condrites		Carbonàcies		H	
Rocosos		Enstatítiques		Ordinàries		L	
Diferenciat		Rumurutítiques		LL		LL	
Metà-llics		Kakangari		CI		CI	
Acondrites		Primitives		CM		CM	
Metal·lífics		Planetàries	SNC	CB		CB	
Metal·lífics				CV		CV	
Metal·lífics		Lunar	Impact Breccia	CO		CO	
Metal·lífics				CK		CK	
Metal·lífics		HED	Mare Basalt	CR		CR	
Metal·lífics				CH		CH	
Mesosiderites		Howardites		Shergottites		Shergottites	
Pallasites		Eucrites		Nakhilites		Nakhilites	
Ataxites		Diogenites		Chassignites		Chassignites	
Metà-llics		Angrites		Basalt Breccia		Basalt Breccia	
Metà-llics		Brachinites		Ortopiroxenites		Ortopiroxenites	
Metà-llics		Aubrites		Impact Breccia		Impact Breccia	
Metà-llics		Ureilites		Mare Basalt		Mare Basalt	





Les condrites





Les condrules

Porfirític

Tipus I – Reduït

PO – Porfirític Oliví

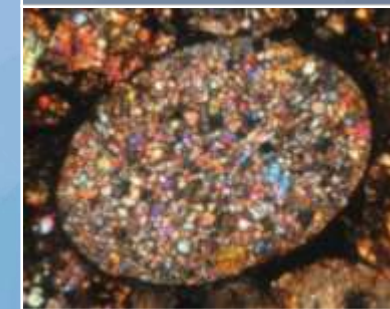


Tipus II – Oxidat

PO – Porfirític Oliví

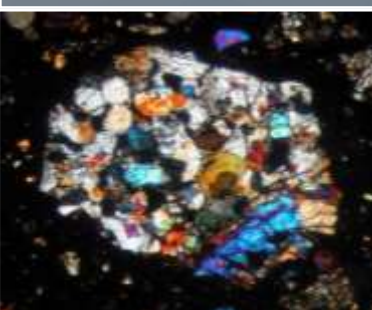


GOP – Granular Oliví Piroxè



No Porfirític

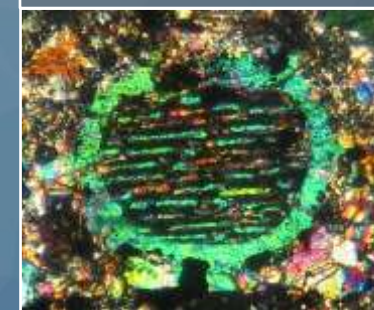
POP – Porfirític Oliví Piroxè



POP – Porfirític Oliví Piroxè



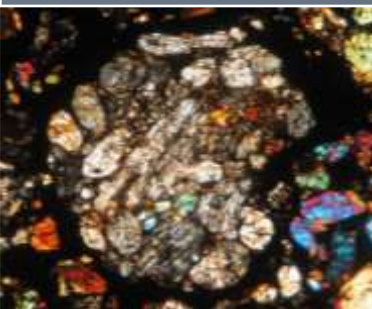
BO – Barrat Oliví



RP – Radial Piroxè



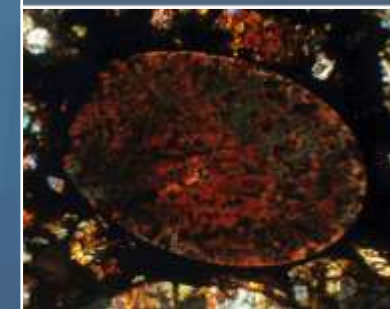
PP – Porfirític Piroxè

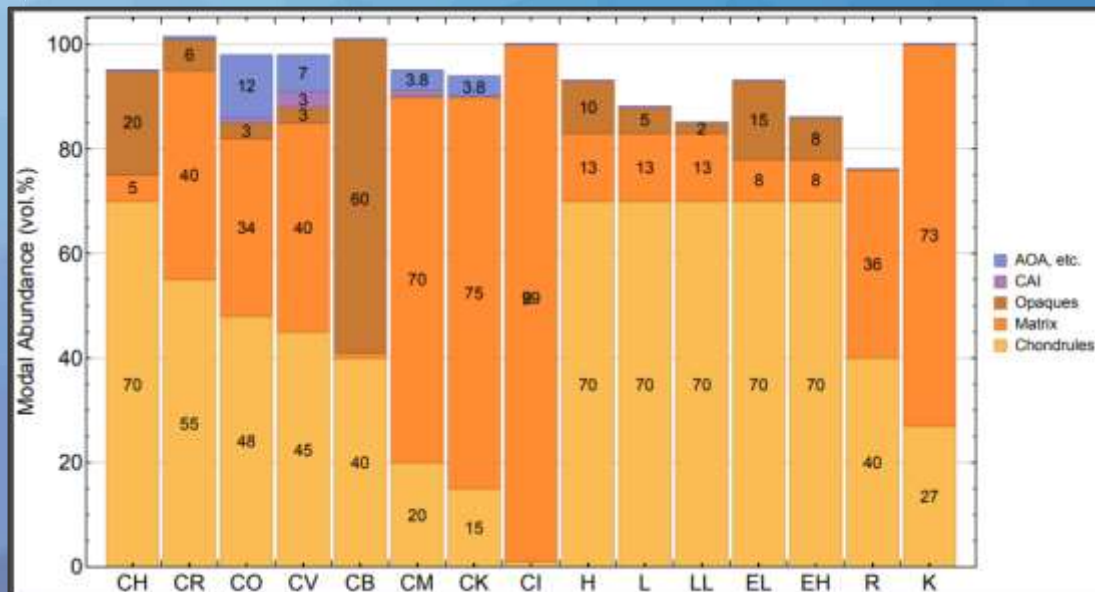
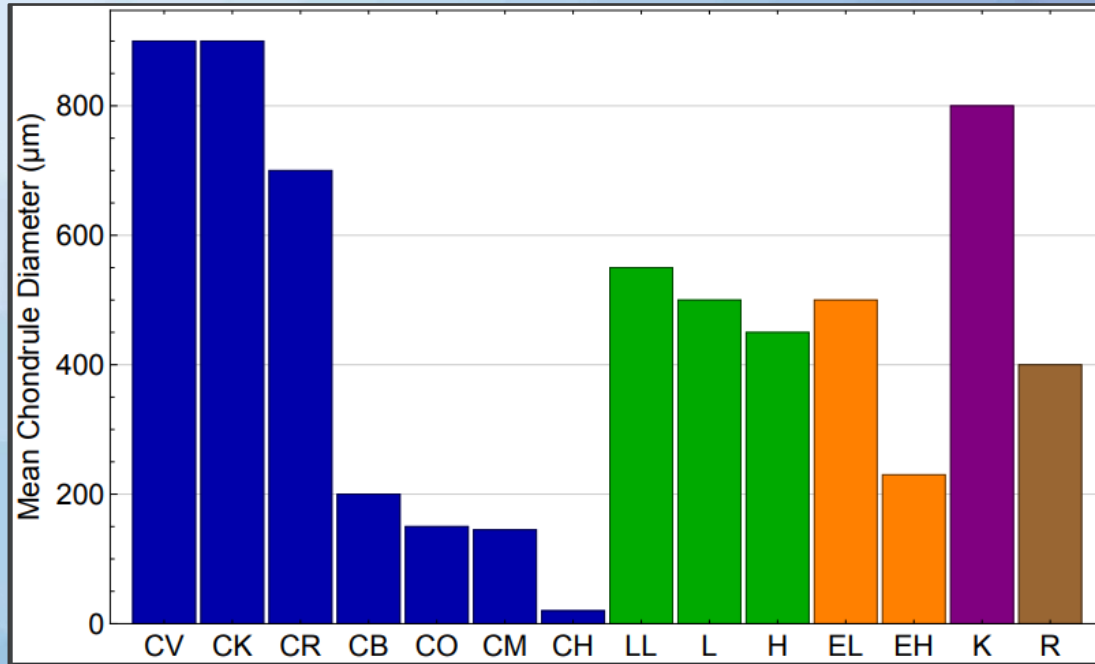


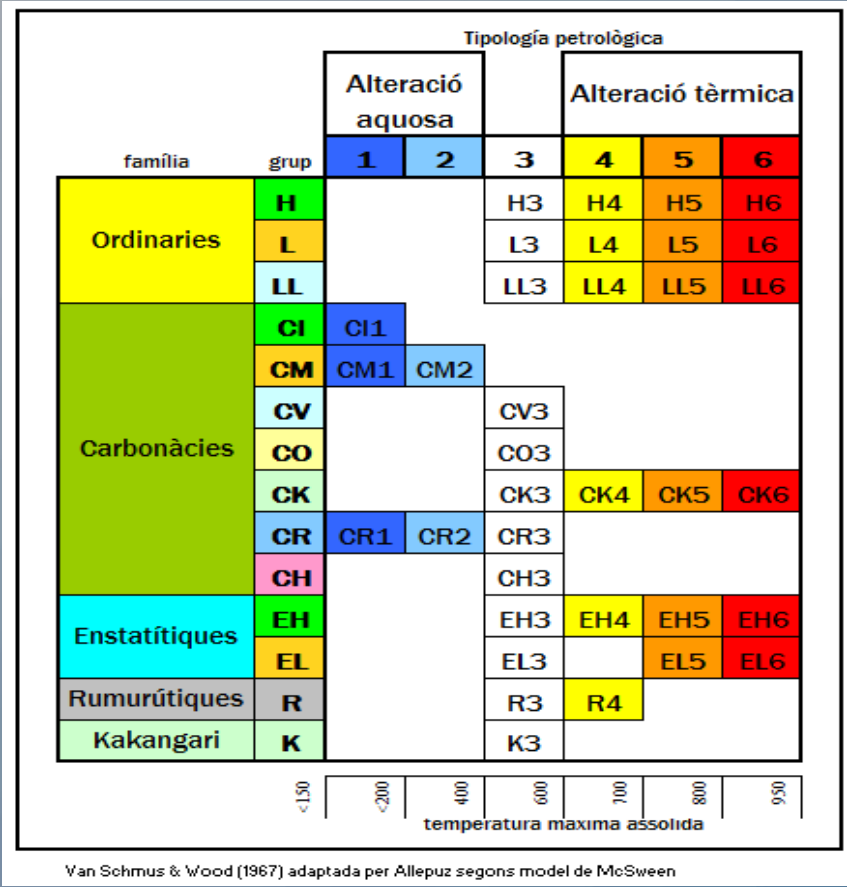
PP – Porfirític Piroxè



C – Criptocristal·lí







1



2



3



4



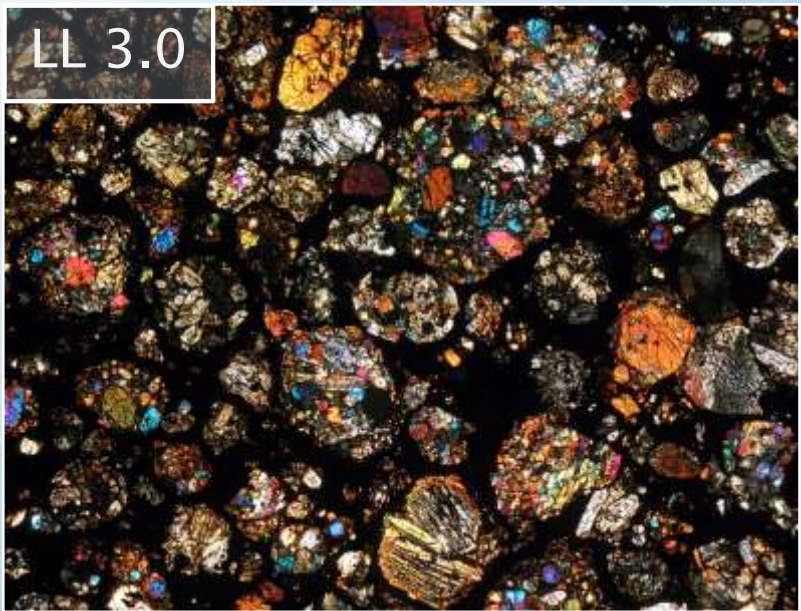
5



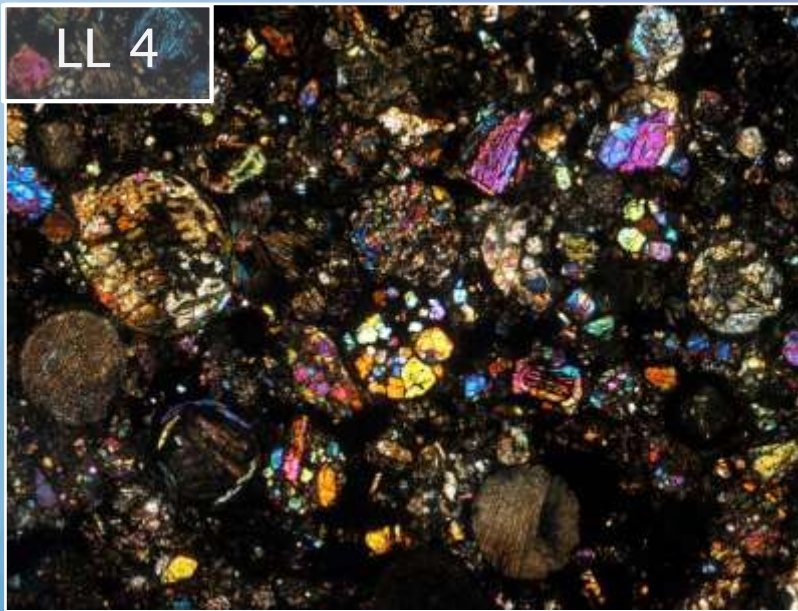
6



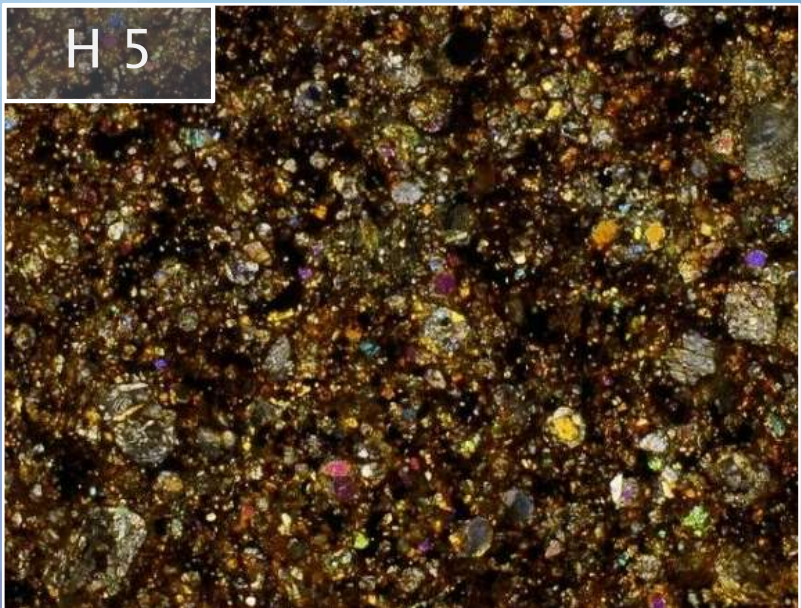
LL 3.0



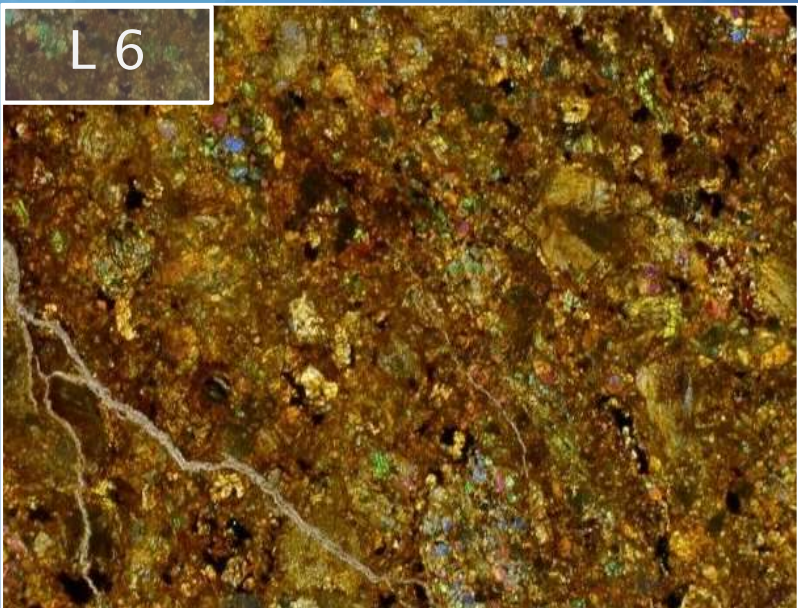
LL 4



H 5



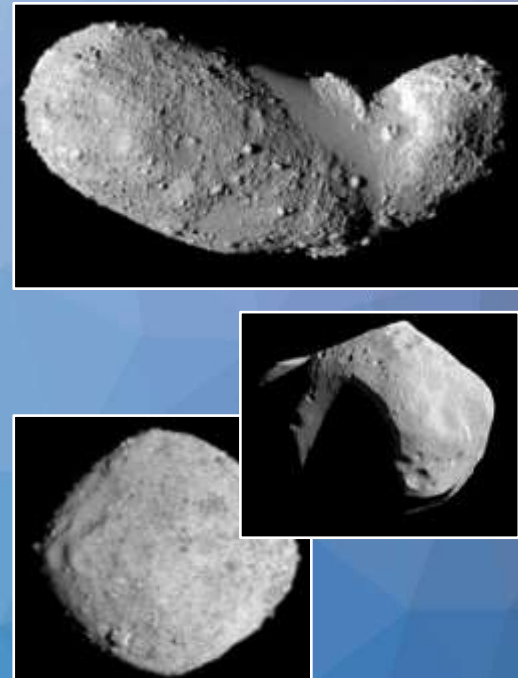
L 6



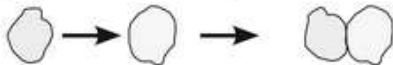
Tipologia petrologica								
	Alteració aquosa	Inalterat	Alteració tèrmica					
	1	2	3	4	5	6		
Homogeneïtat de la composició de l'olivina	-	>5% de desviació mitja	<5%	Homogènia				
Estat estructural del Piroxè baix en Ca	-	monoclínic predominant	>20% monoclínic	<20% monoclínic	Ortoròmbic			
Feldespat	-	pocs grans primaris	Grans secundaris menors de 2 micròmetres	Grans secundaris entre 2 y 50 micròmetres	Grans secundaris de més de 50 micròmetres			
Cristall a les còndrules	alterat o absent	algun conservat	transparent isotòpic	desvitrificat	absent			
Metall: Ni màxim (%pes)	-	<20 taenita absent o traces	kamacita i taenita amb > 20					
Sulfats: Ni mitjà (%pes)	-	>0,5	<0,5					
Matriu	gra fi i opaca	majoritariament de gra fi i opaca	entre opaca i transparent	transparent, recristalitzada				
Integració Còndrules-Matriu	sense còndrules	còndrules marcades		s'aprecien còndrules però poques amb límits ben marcats	còndrules poc definides	textures primàries destruïdes		
Carboni (%pes)	3 a 5	0,8 a 2,6	0,2 a 1	<0,2				
Aigua (%pes)	18 a 22	2 a 16	0,3 a 3	<1,5				

Weisberg et Al.

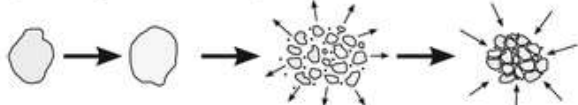
	pressió Gpa	olivina	piroxè baix en Ca	plagiòclasi	efectes locals
S1	<5	extinció òptica clara, fractures irregulars			cap
S2	5 a 10	extinció ondulant- fractures irregulars, algunes fractures planars			cap
S3	10 a 15	fractures planars	lameles de clinoenstatita		venes de xoc fosques dipòsits de material fos.
		extinció ondulant			
		fractures irregulars			
S4	15 a 30	mosaicisme dèbil		extinció ondulant, isotropia parcial	venes de xoc opaques que connecten amb dipòsits de material fos.
		twinning (100)			
S5	45 a 60	mosaicisme destacat		maskelinita	venes de xoc opaques que connecten amb abundants dipòsits de material fos.
S6	75 a 90	deformació planar			
		ringwoodita	majorita	fusió a vidre	venes de xoc opaques que connecten amb abundants dipòsits de material fos.
		recristalització de l'olivina			
Fusió per xoc	>100	tota la roca fosa produint de vegades bretxes			



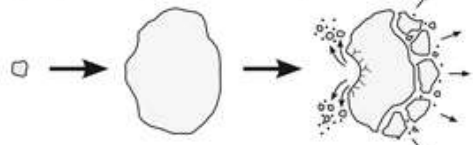
A Low-velocity approach – contact binary asteroid



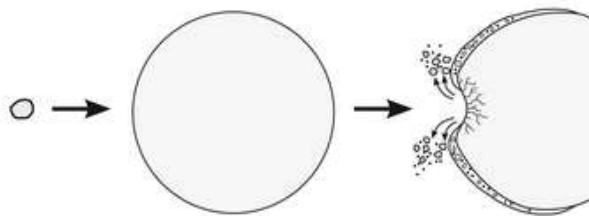
B Impact – fragmentation – escape or reaccretion



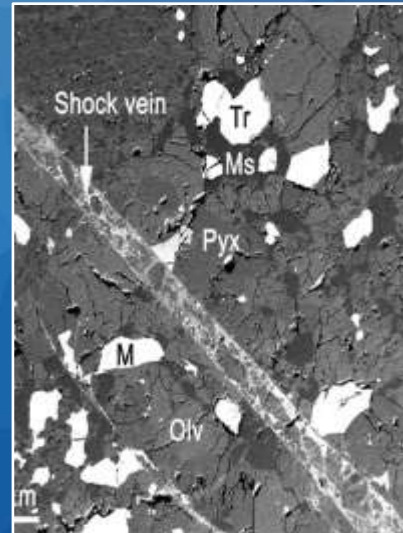
C Cratering – ejection – spallation and escape or reaccretion



D Cratering – ejecta deposition and partial escape of ejecta



E Multiple cratering, multiple ejecta blankets (megaregolith)



Meteorització	Caracteristiques
W0	Meteorits recuperats en el moment de la seva caiguda
W1	Rastres d'oxidació al voltant del grans de metall
W2	Oxidació moderada del metall
W3	Forta oxidació del metall. El 60-90% d'aquest ha desaparegut
W4	Completa oxidació del metall. Silicats no alterats
W5	Comença l'alteració dels silicats
W6	Silicats substituïts per argiles i òxids.

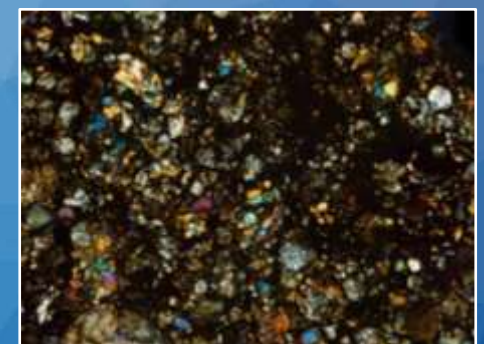


Les condrites ordinàries

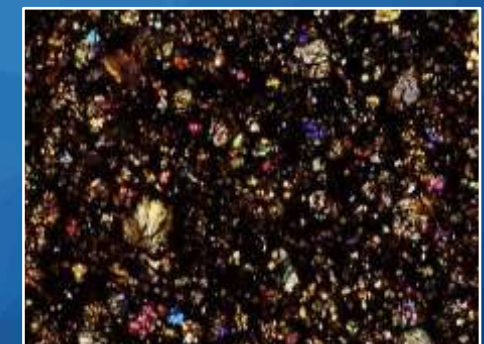
LL

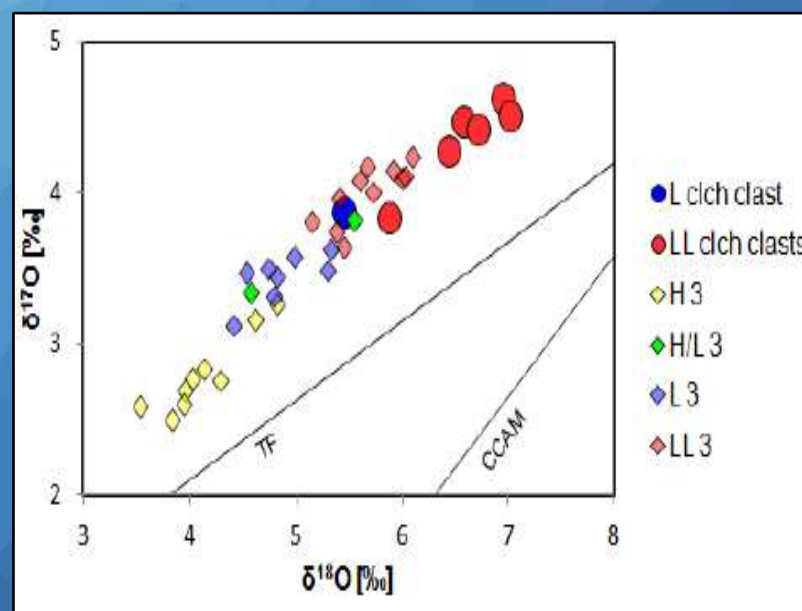
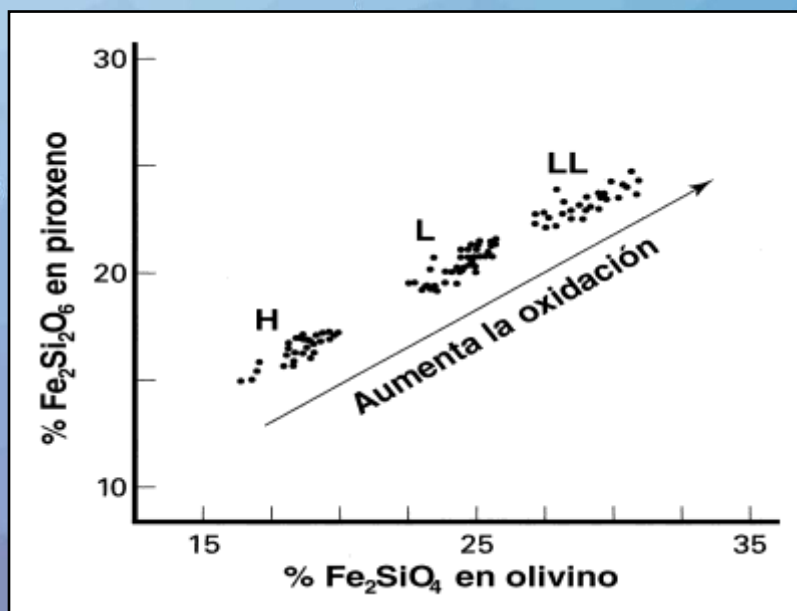
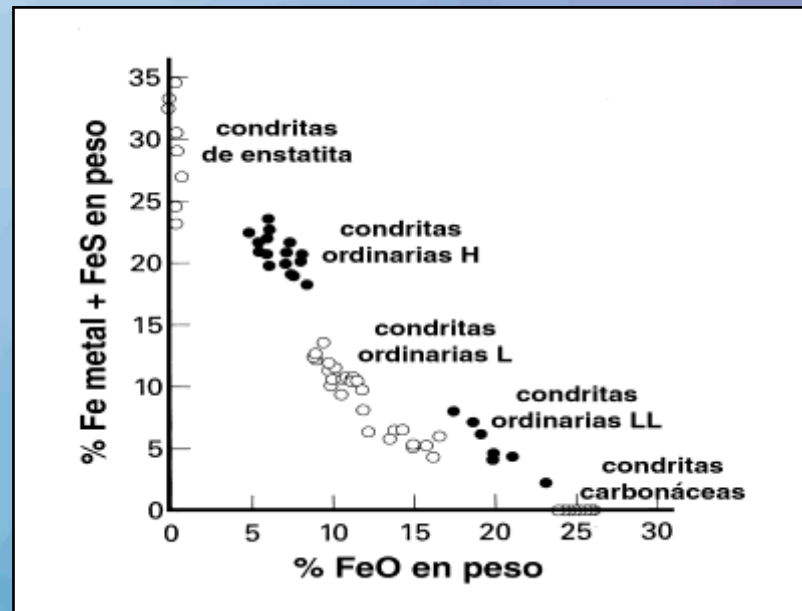
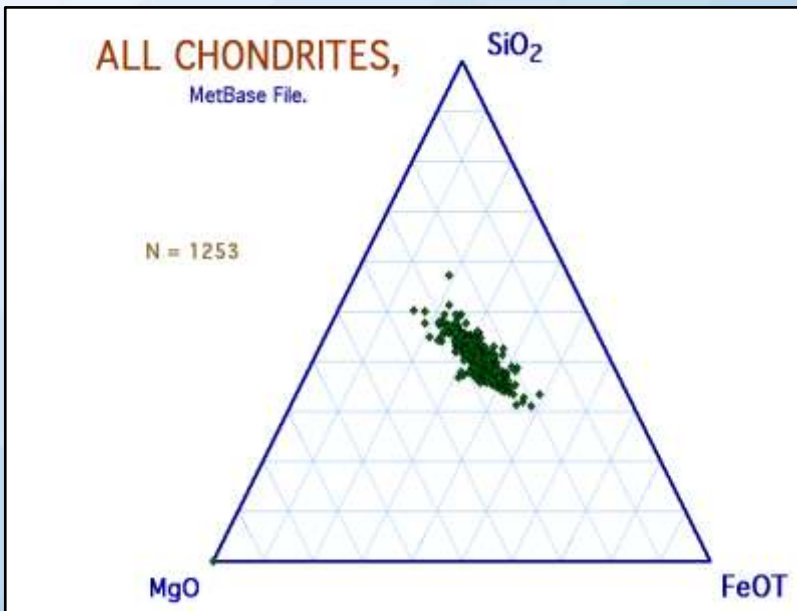


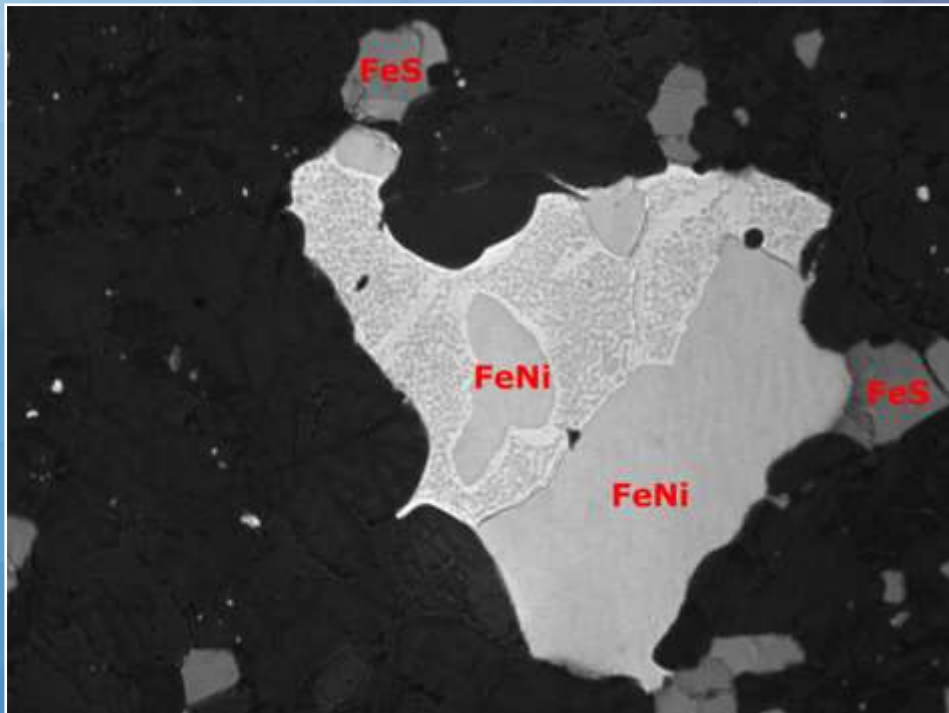
L



H







Les condrites d'enstatita

EL



EH



Les condrites carbonàcies

CI

Ivuna



CM

Mighei



CB

Bencubbin



CV

Vigarano



CO

Ornans



CK

Karoonda



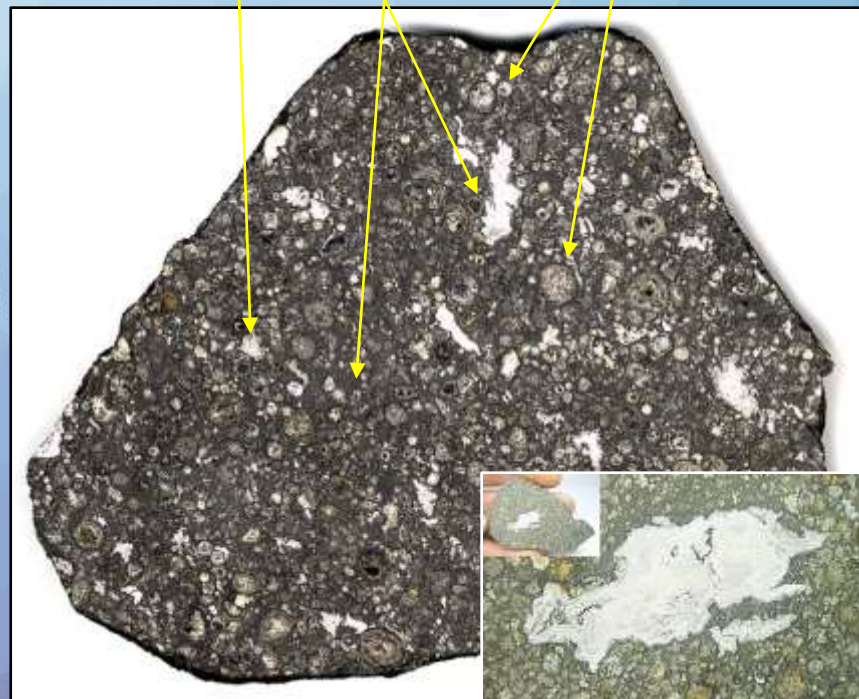
CR

Renazzo

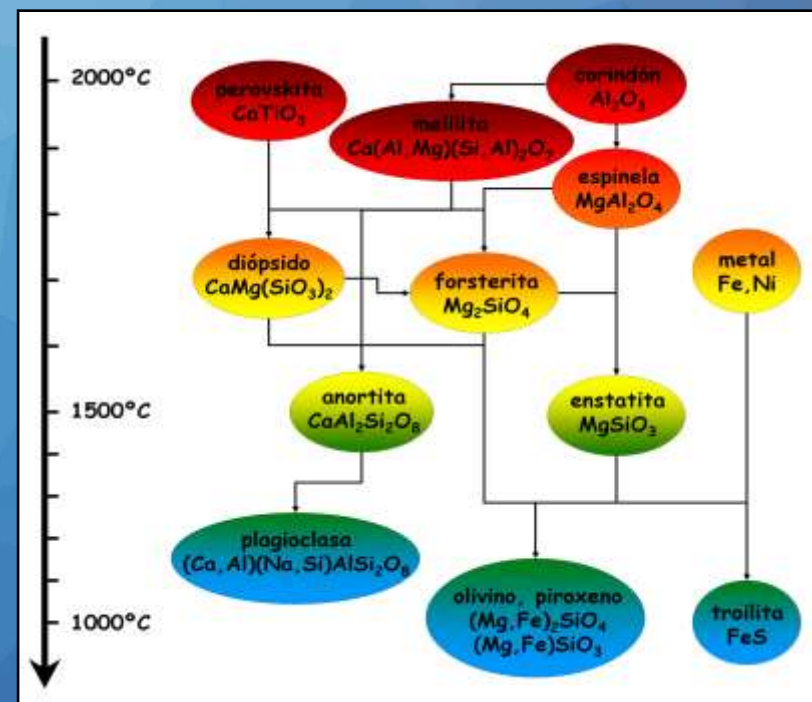
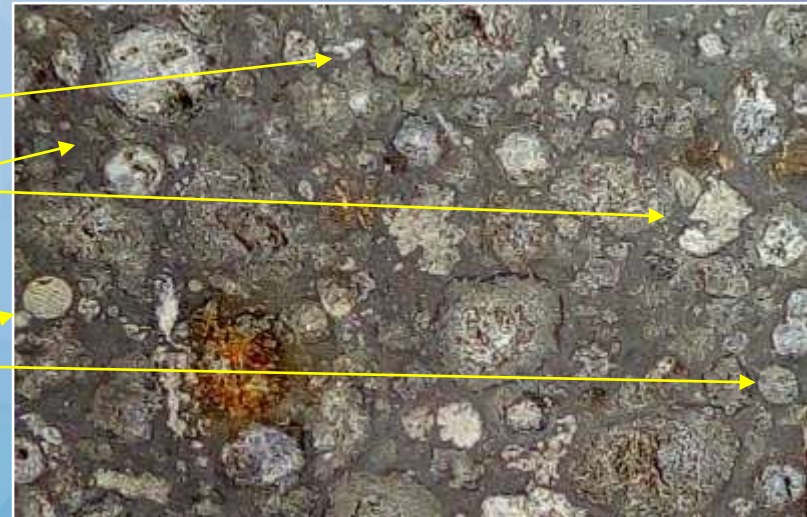


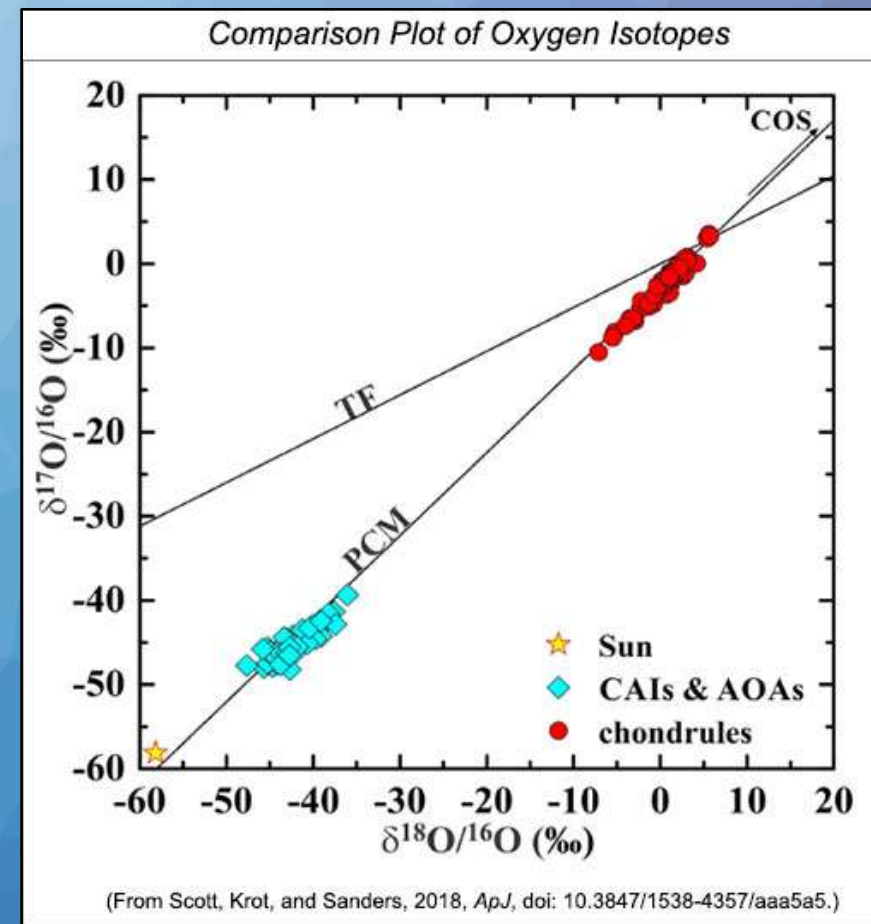
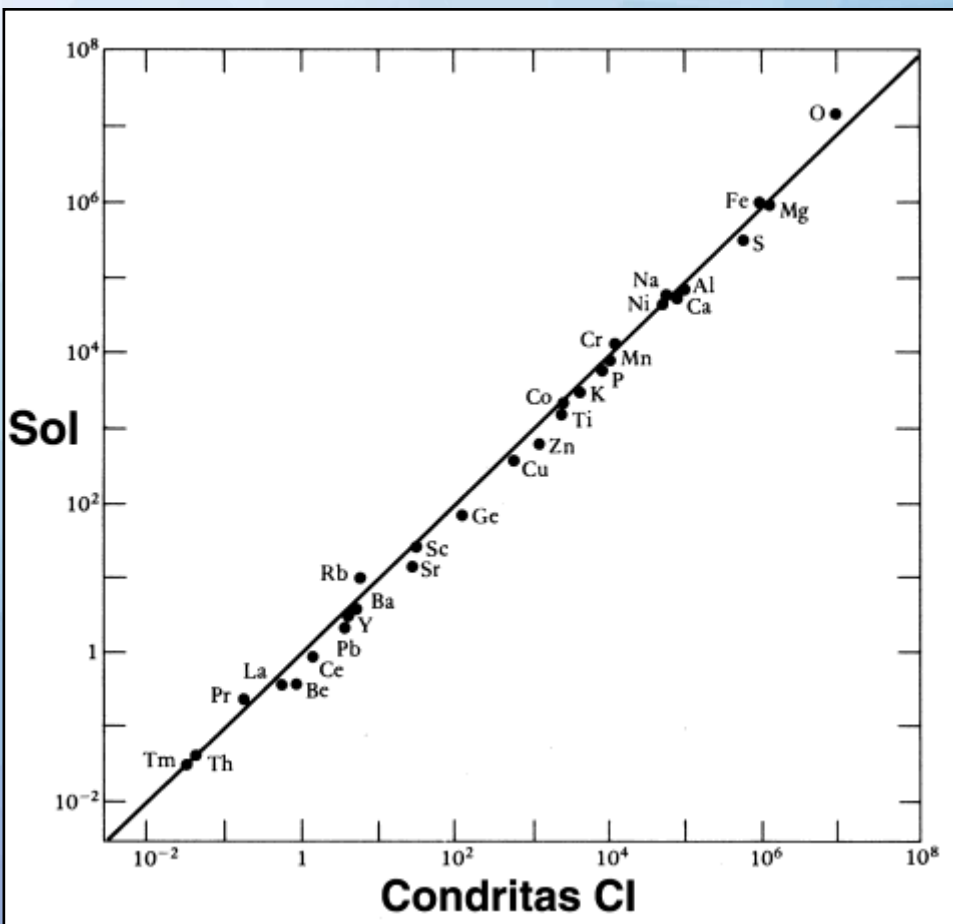
CH





CAI
Matriu
Còndrula

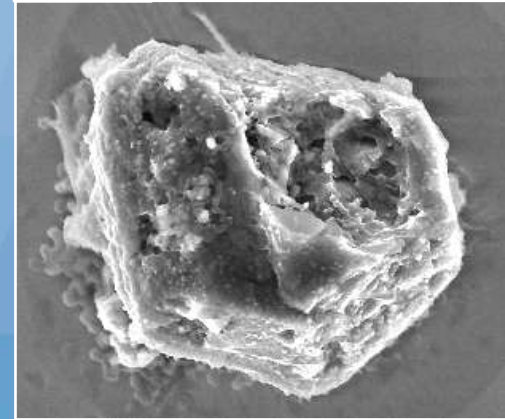




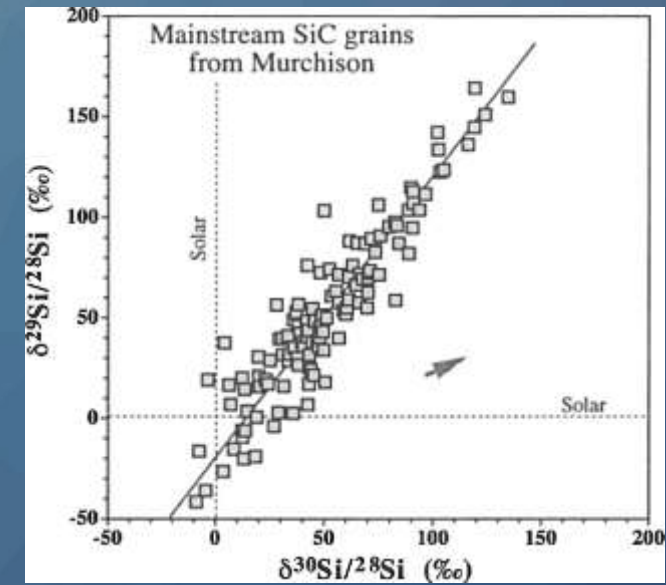
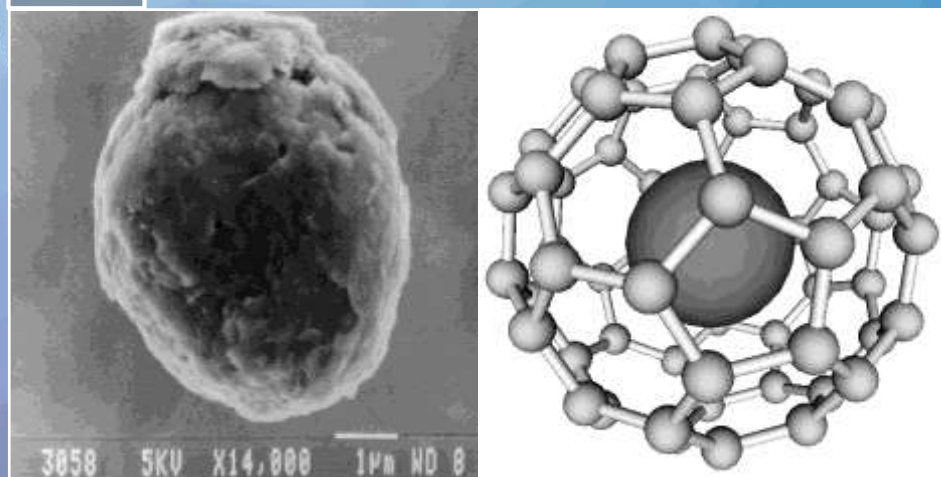
Grans presolars

Phase	Abundance (ppm)	Size
Diamond	1400	2 nm
SiC	14	0.1–20 μm
Graphite	10	1–20 μm
TiC, ZrC, MoC, RuC, FeC, Fe-Ni	(sub-grains in graphite)	5–220 nm
Silicon Nitride (Si_3N_4)	>0.002	~1 μm
Spinel (MgAl_2O_4)	1	0.1–3 μm
Corundum (Al_2O_3)	<0.1	0.1–3 μm
Hibonite ($\text{CaAl}_12\text{O}_{19}$)	0.002	~2 μm
Silicates	500 (in IDPs)	0.3–1 μm

SiC



Grafit



Molècules orgàniques

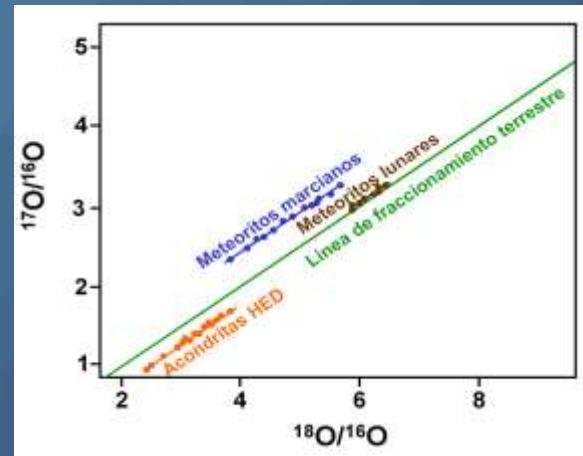
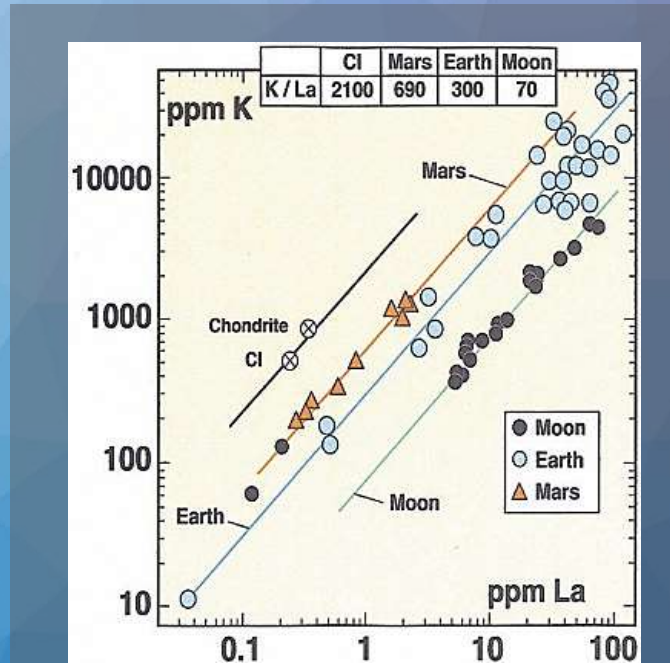
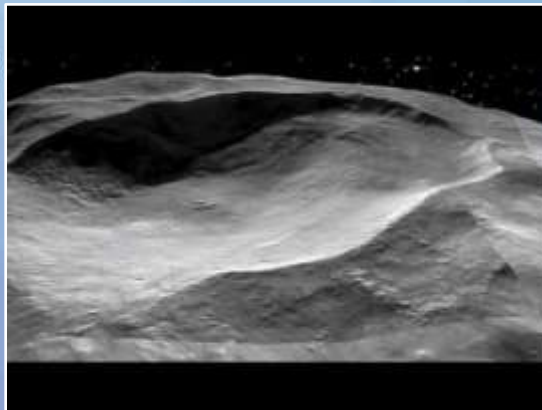
Tipo de compuesto	Concentr. (ppm)	Especies identificadas	Longitud de cadena	Ejemplos
Hidrocarburos alifáticos	35	210	C ₁ -C ₃₀	Propano, isobutano, benceno, ...
Hidrocarburos aromáticos	21	87	C ₆ -C ₂₀	Pireno, fenantreno, acenaftano, ...
Alcoholes	11	8	C ₁ -C ₄	Etanol, metanol, propanol, ...
Aldehídos y cetonas	27	9	C ₁ -C ₅	Dimetilcetona, formaldehído, ...
Ácidos carboxílicos	330	63	C ₁ -C ₁₂	Ácid acético, ácido valérico, ...
Ác. hidroxicarboxílicos	15	101	C ₂ -C ₈	Ácid láctico, ác. α-hidroxiglutárico, ...
Aminas	8	10	C ₁ -C ₄	Metilamina, propilamina, ...
Amidas	62	4	C ₁ -C ₃	Urea, guanilurea, fenilurea, ...
Aminoácidos	60	78	C ₂ -C ₉	Glicina, ácido α-aminoisobutírico, ...
Purinas y pirimidinas	2	5	C ₄ -C ₅	Adenina, xantina, guanina, uracilo, ...
Otros heterociclos	7	38	C ₅ -C ₁₀	Dibenzotiofeno, quinolina, ...
Ác. sulfónicos y fosfónicos	5	12	C ₁ -C ₄	Ác. metilsulfónico, ác. etilfosfónico, ...
Polímeros	>2300	-	C _{>100}	C ₁₀₀ H ₄₈₋₇₁ N _{1.8-3} O ₁₂ S ₂
Total	>2800	625		



Les acondrites



Les acondrites planetàries



Meteorits lunars

Bretxes



Basalt



Meteorits marcians

Shergottita



Nakhlita

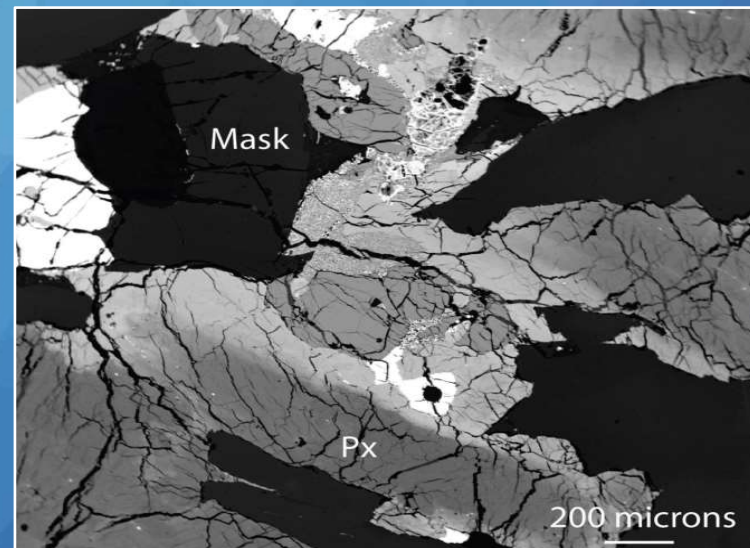
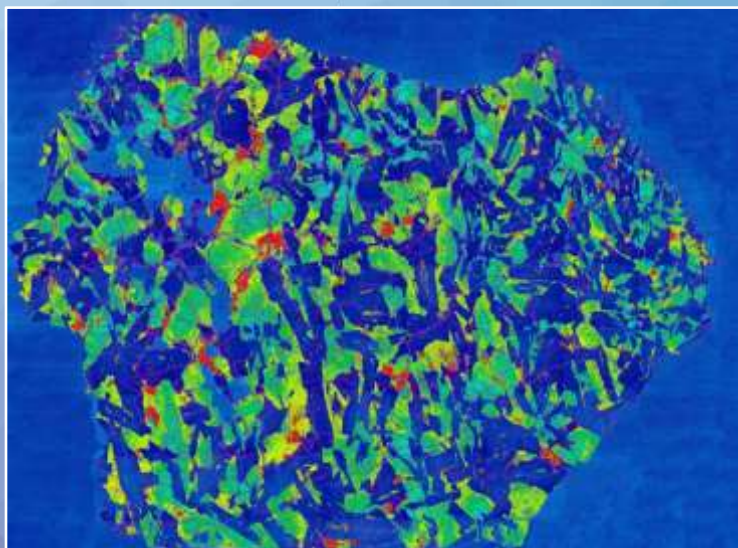
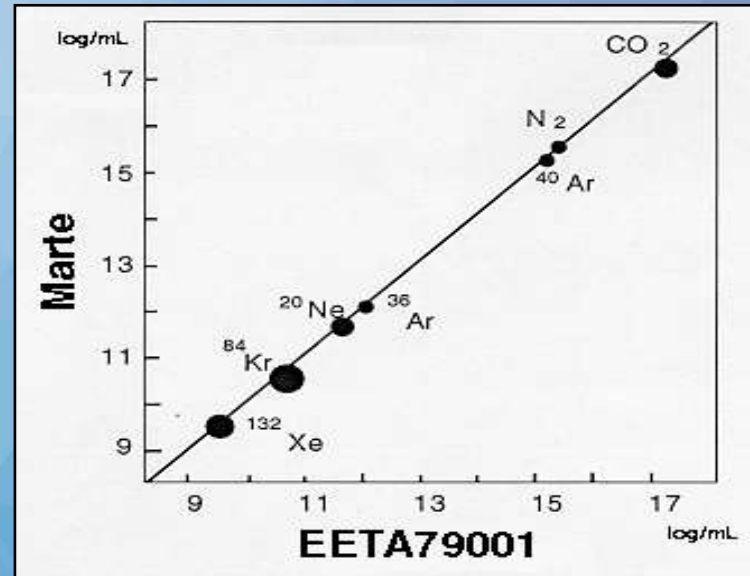
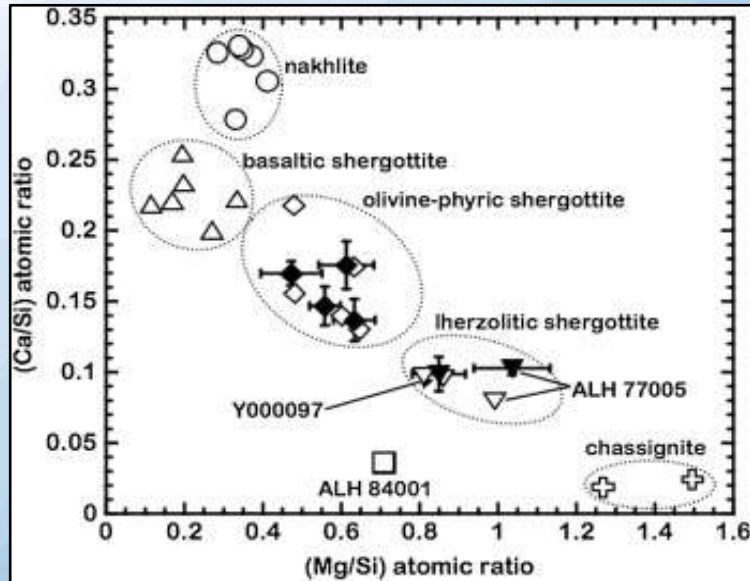


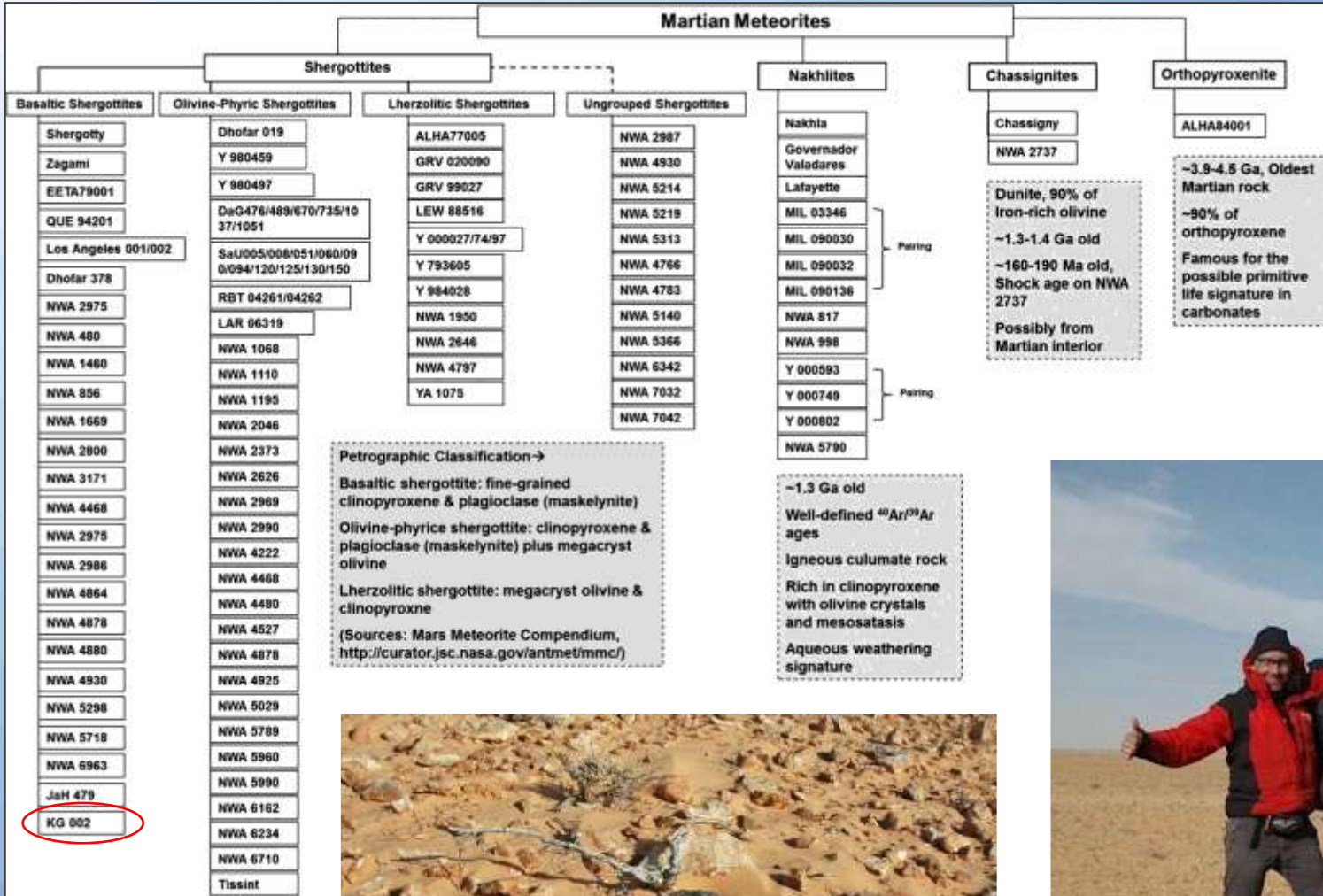
Chassignita



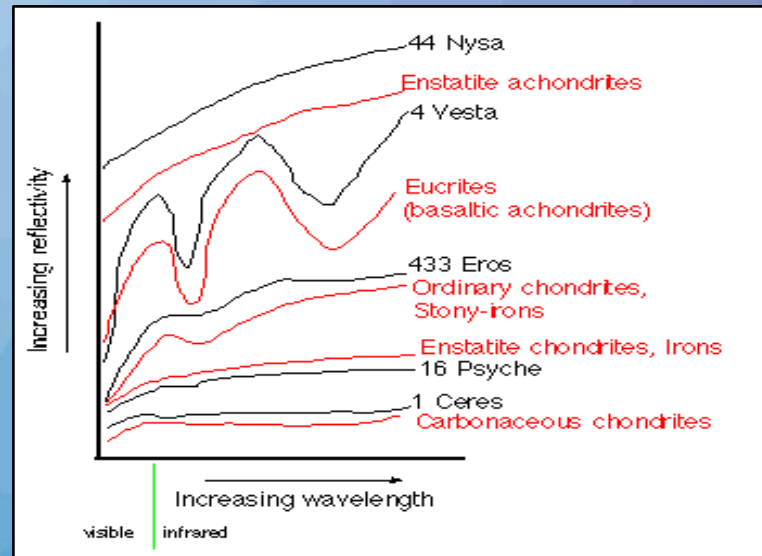
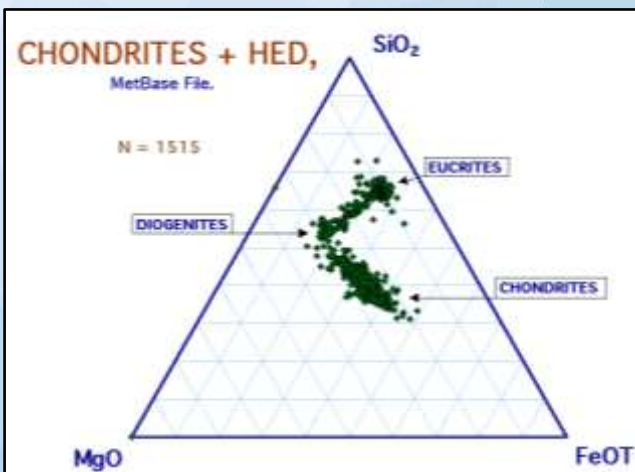
Ortopiroxenita



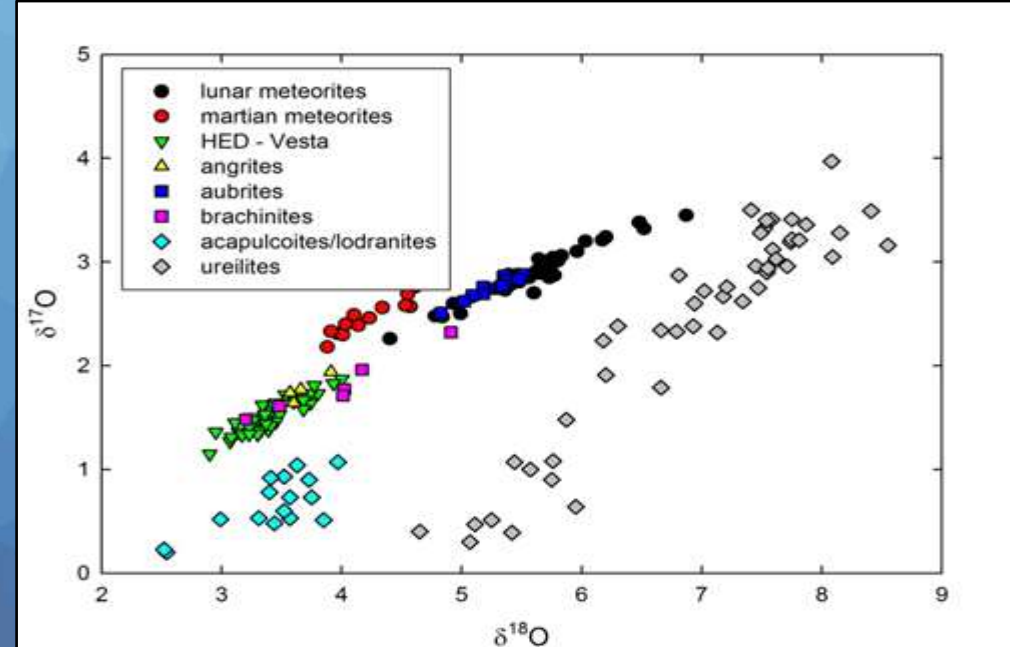
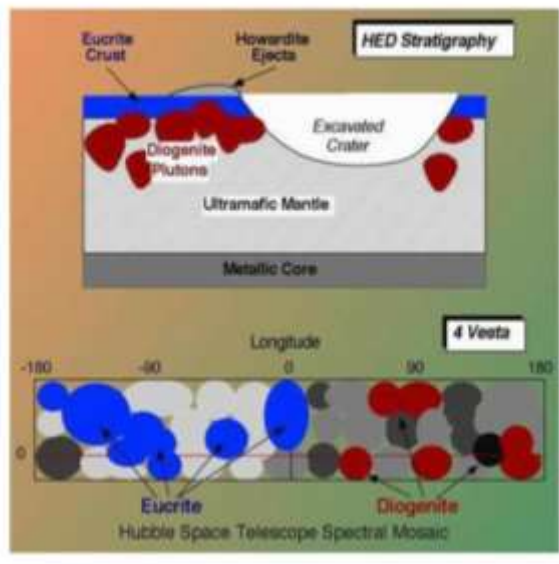




Meteorites asteroidals



HED meteorites & Vesta



El grup HED

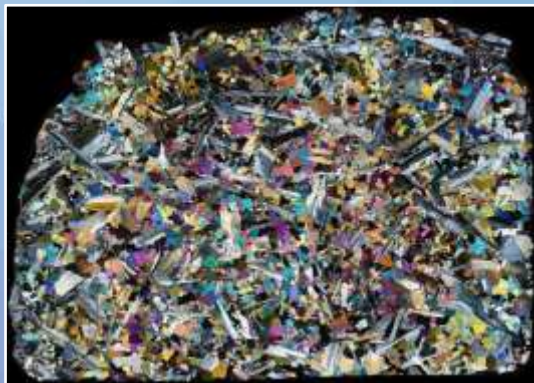
Eucrita

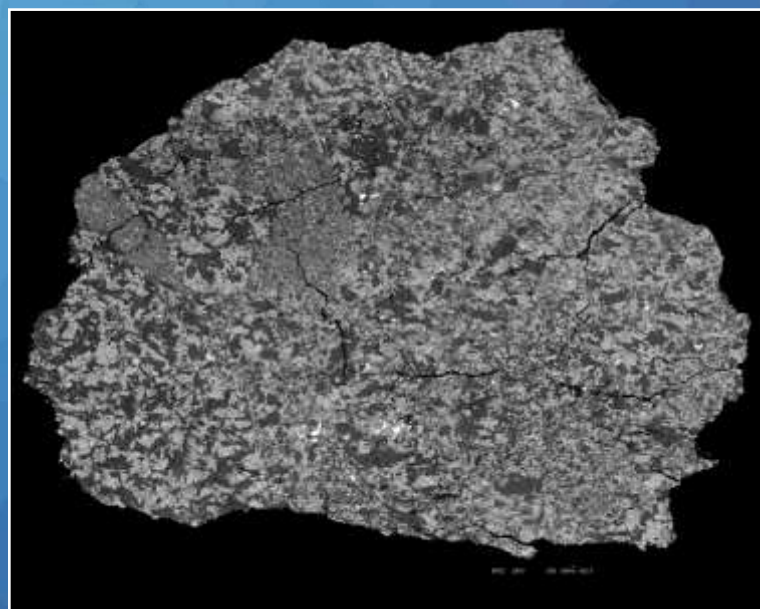


Howardita



Diogenita





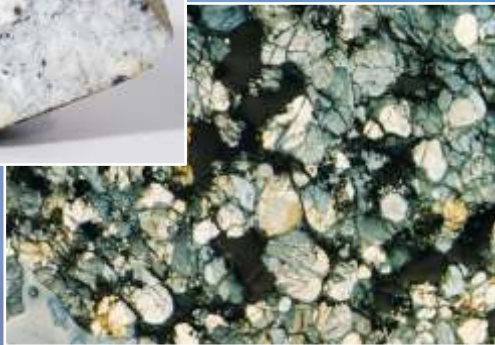
Angrites



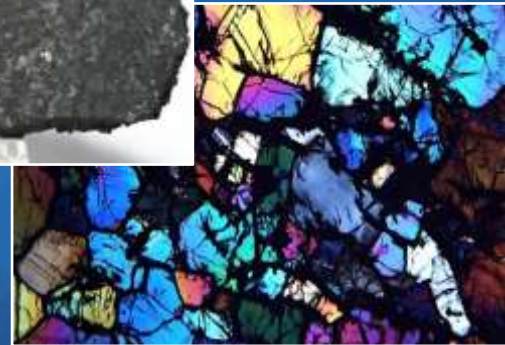
Brachinites

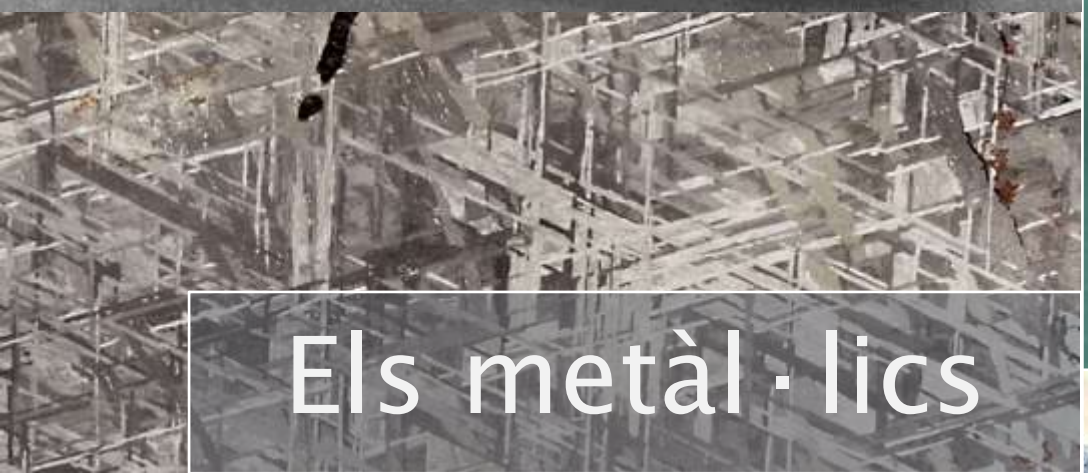


Aubrites



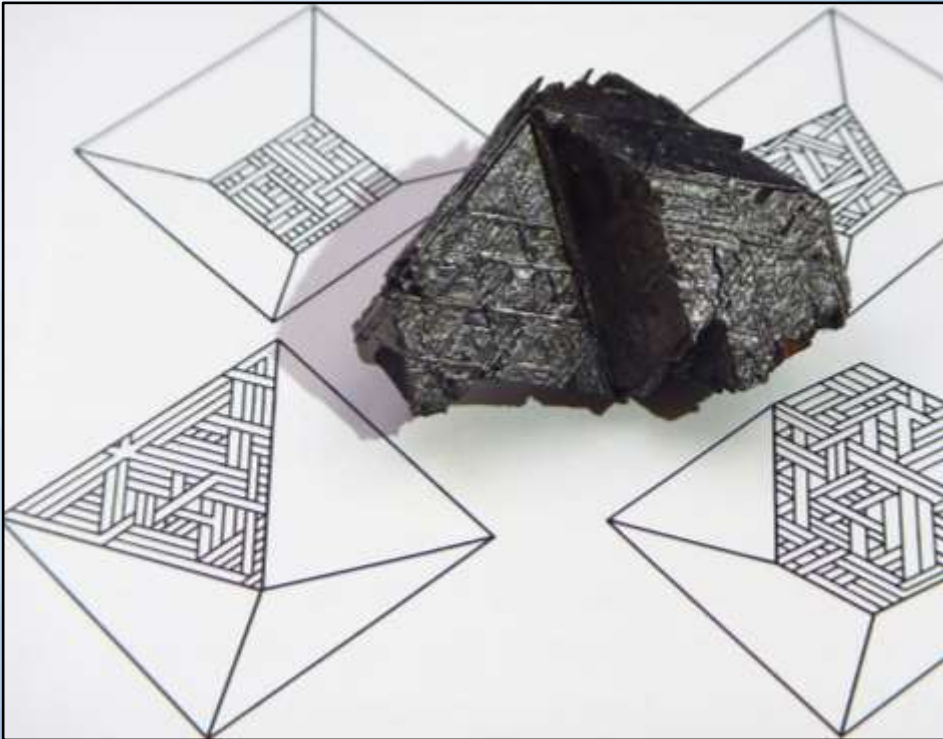
Ureilites



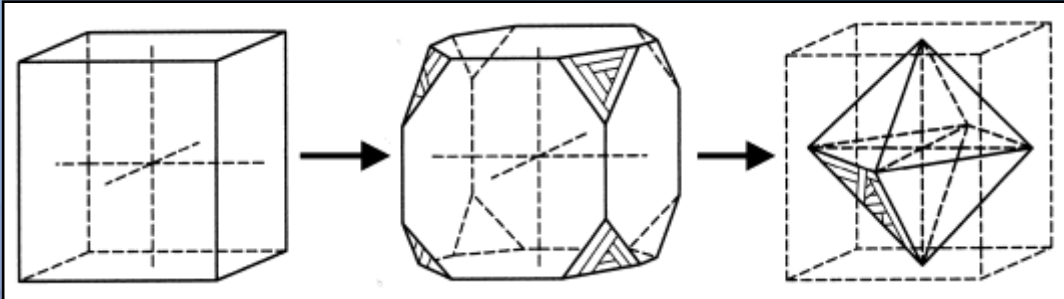
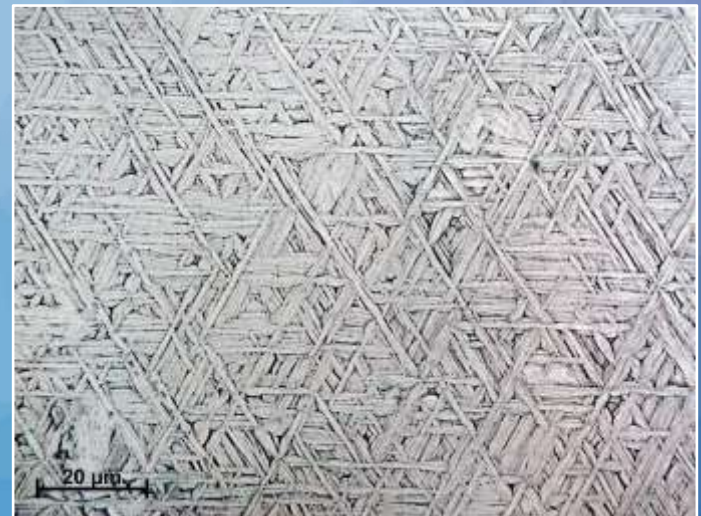


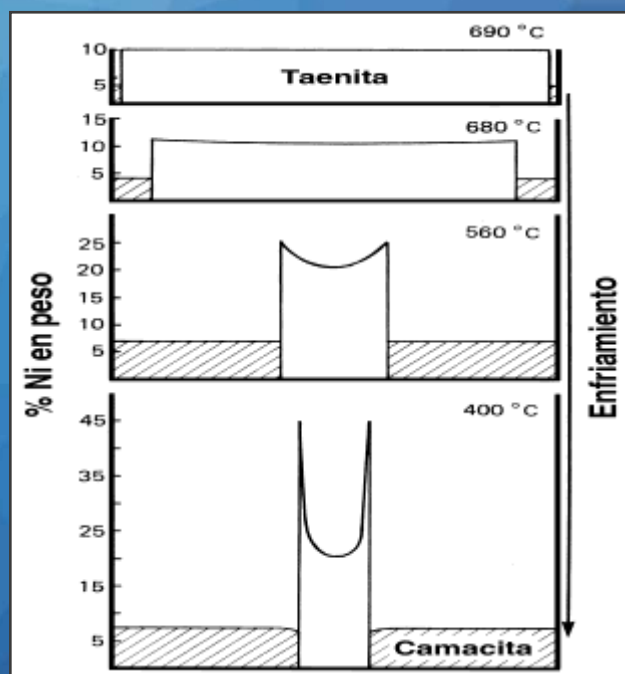
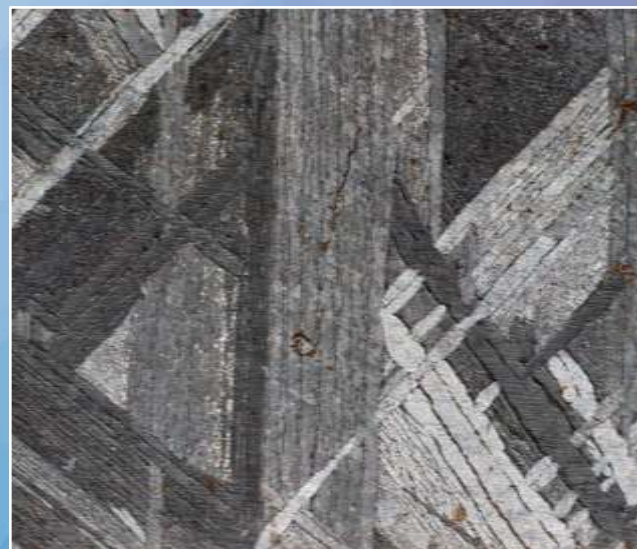
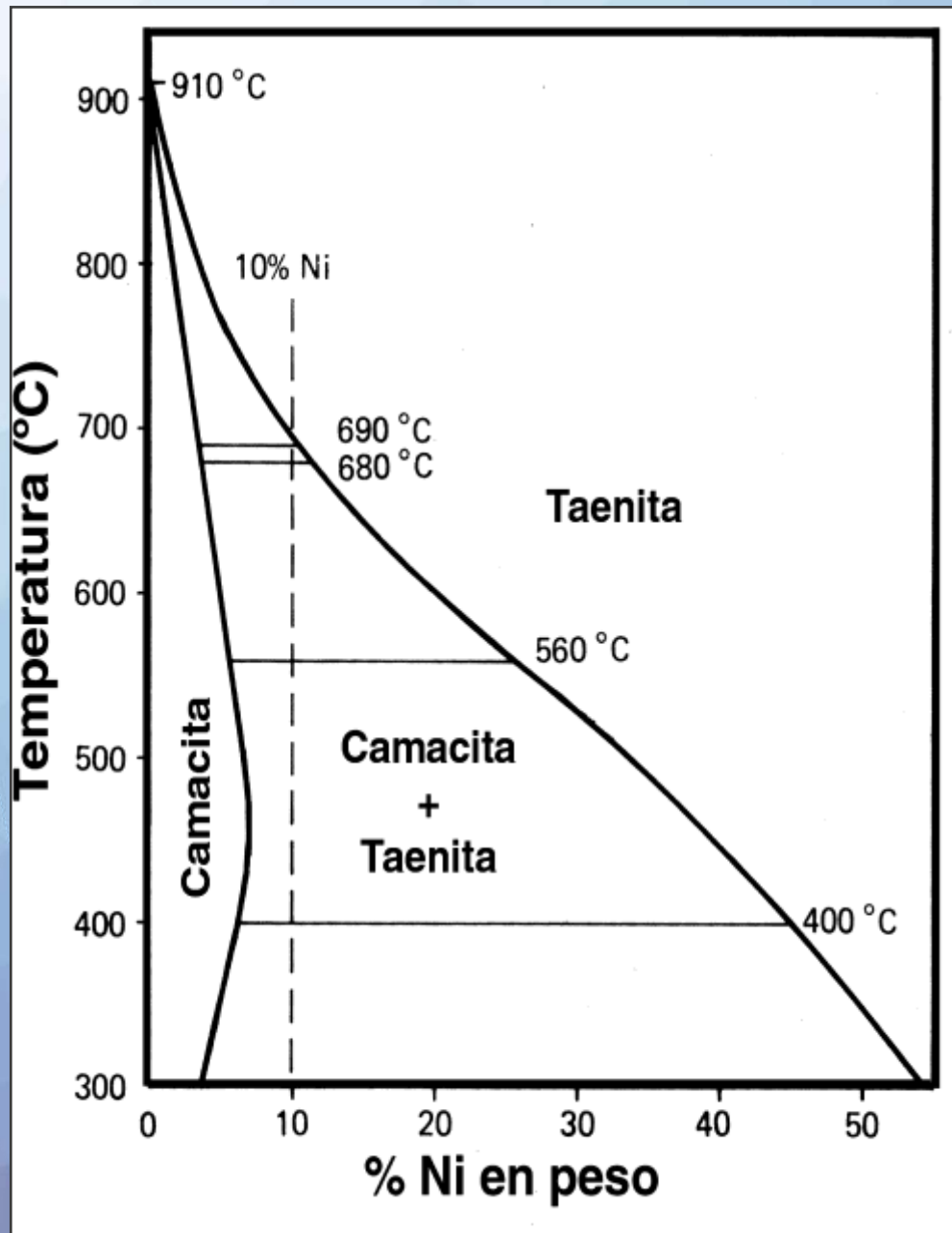
Els metàl·lics

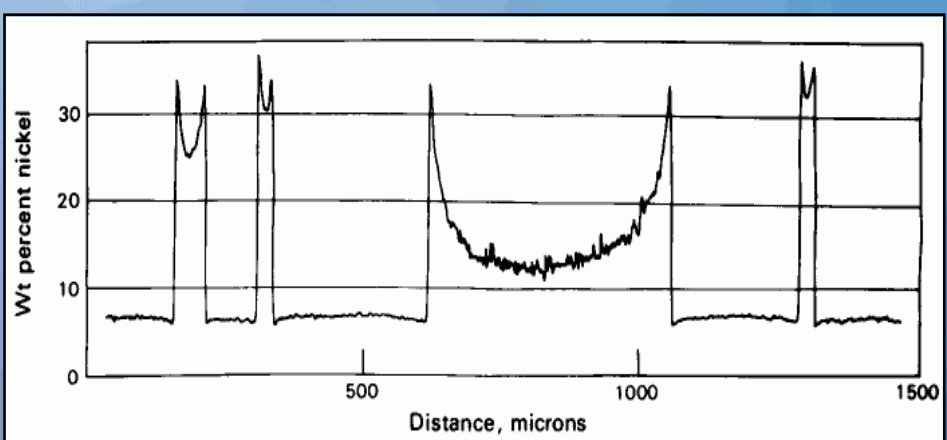
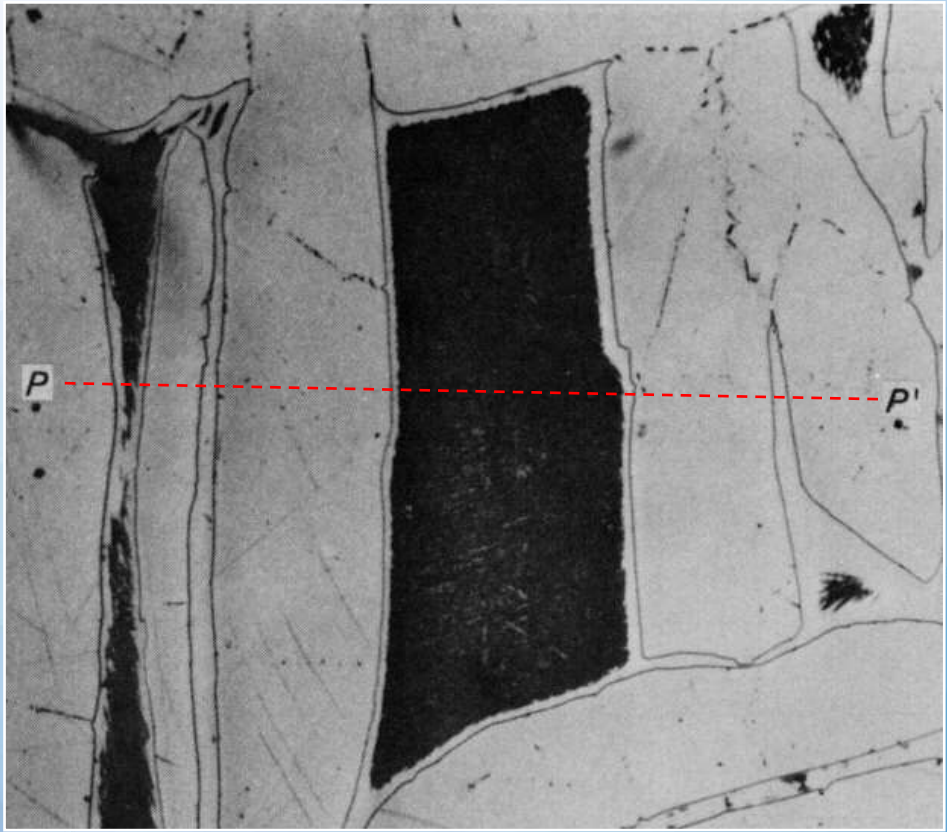




Widmanstätten







Classificació morfològica

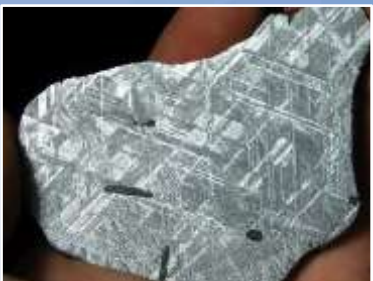
Octaedrita gruixuda



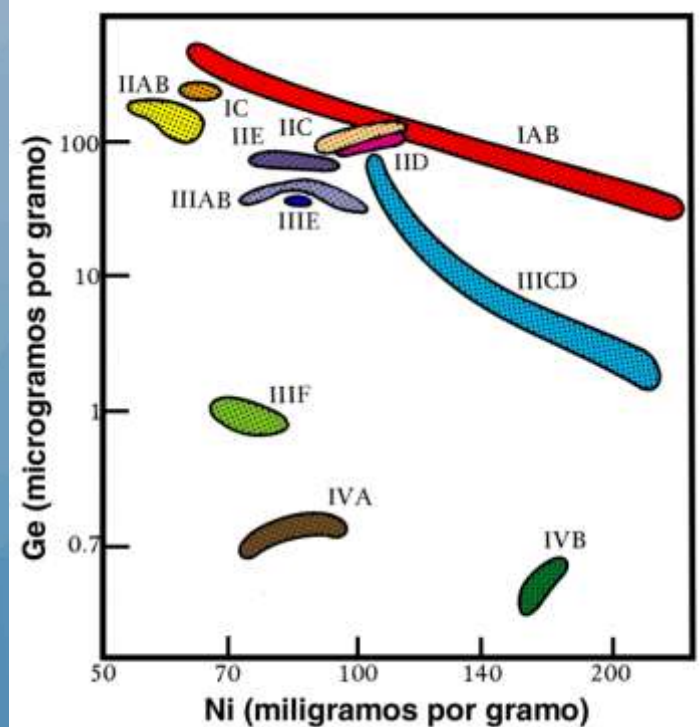
Octaedrita mitjana



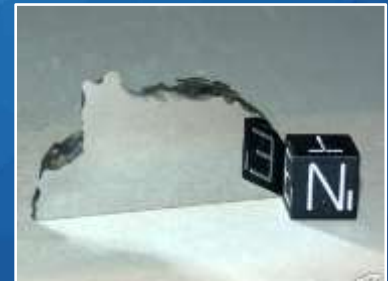
Octaedrita fina



Classificació química



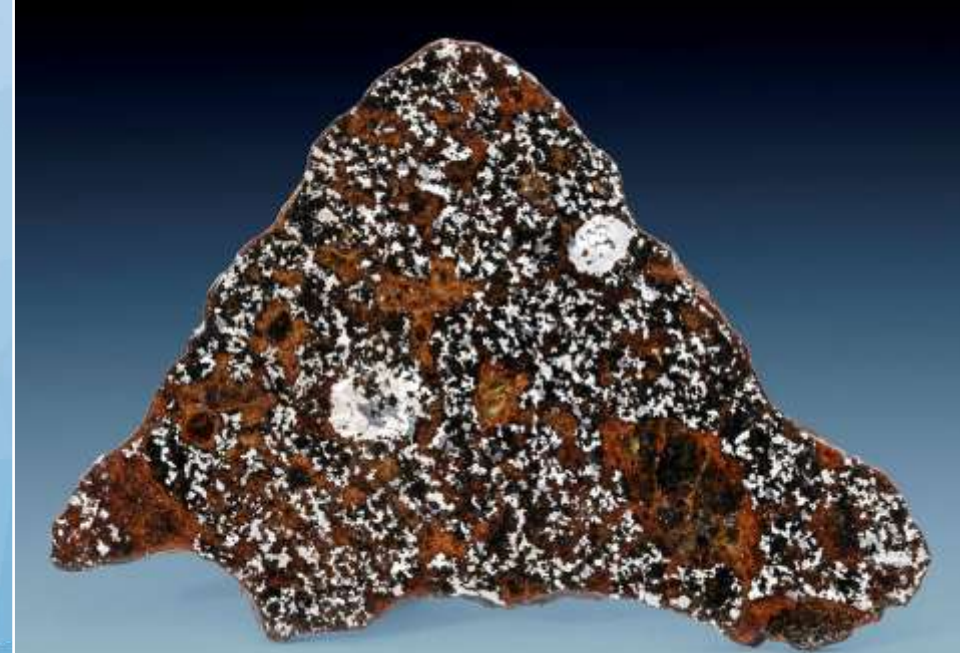
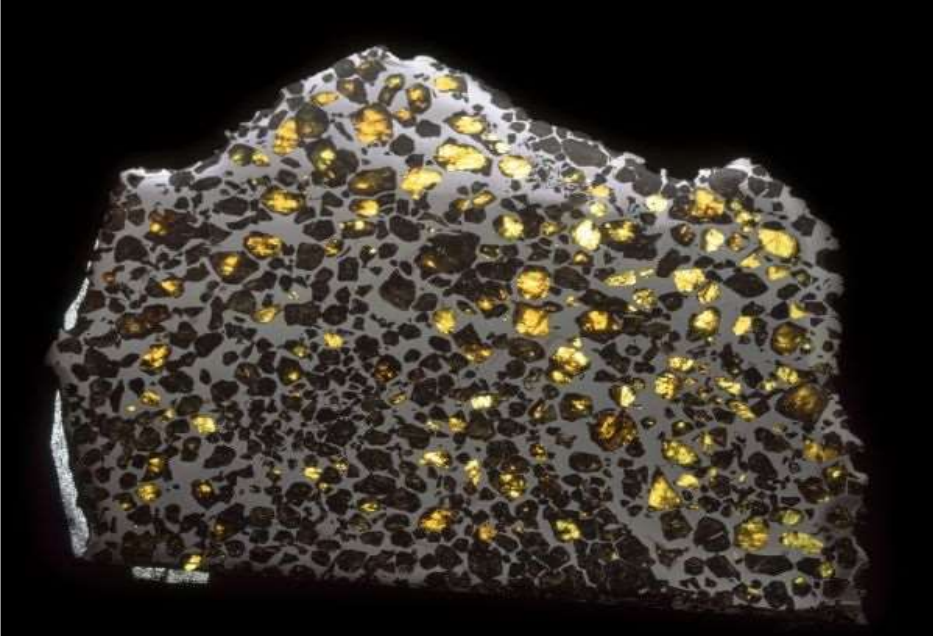
Ataxita





Els metal·lorocosos

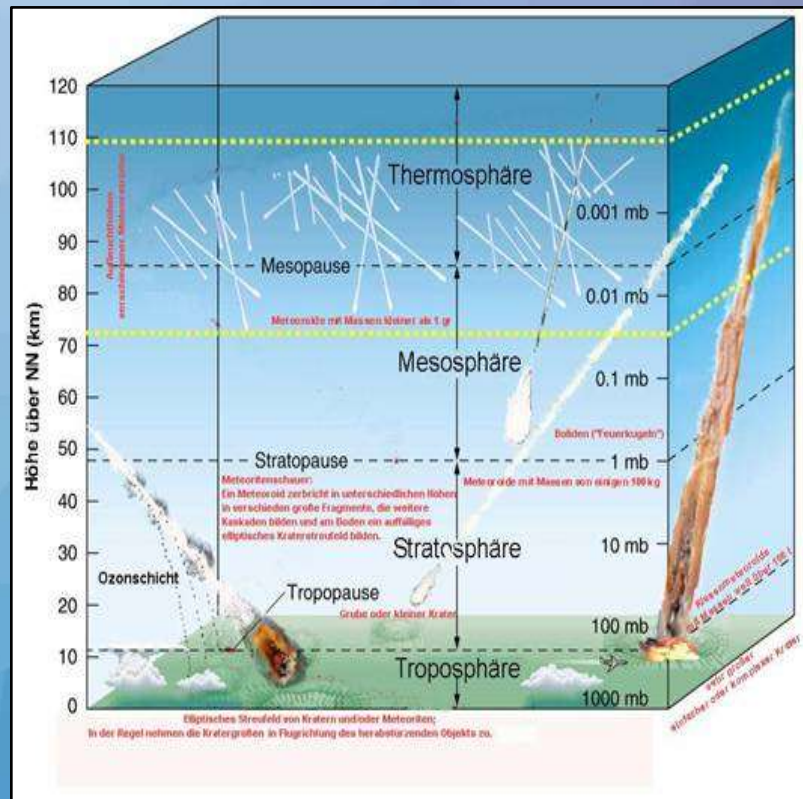
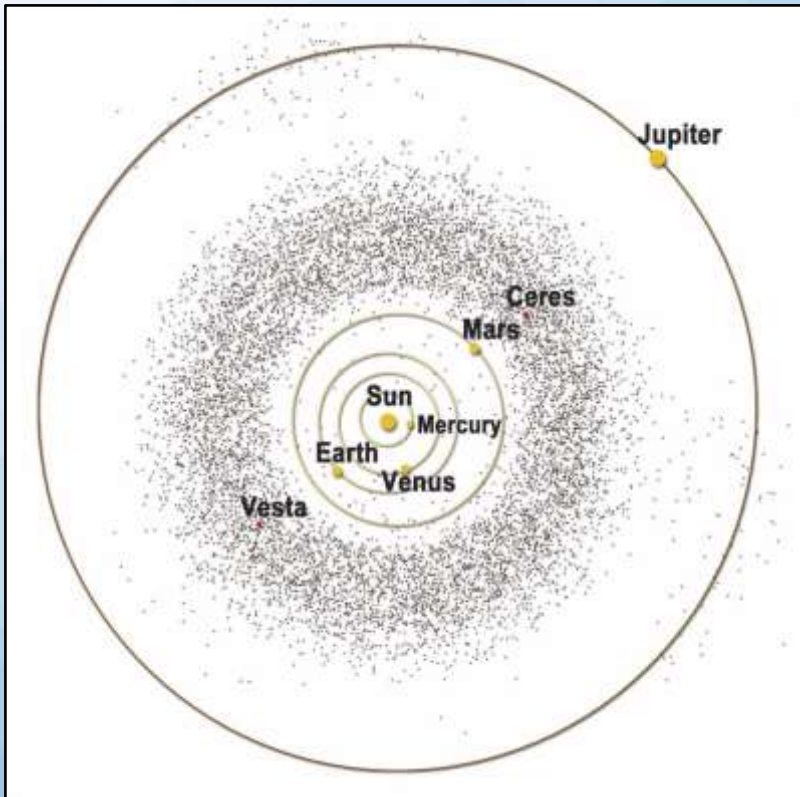


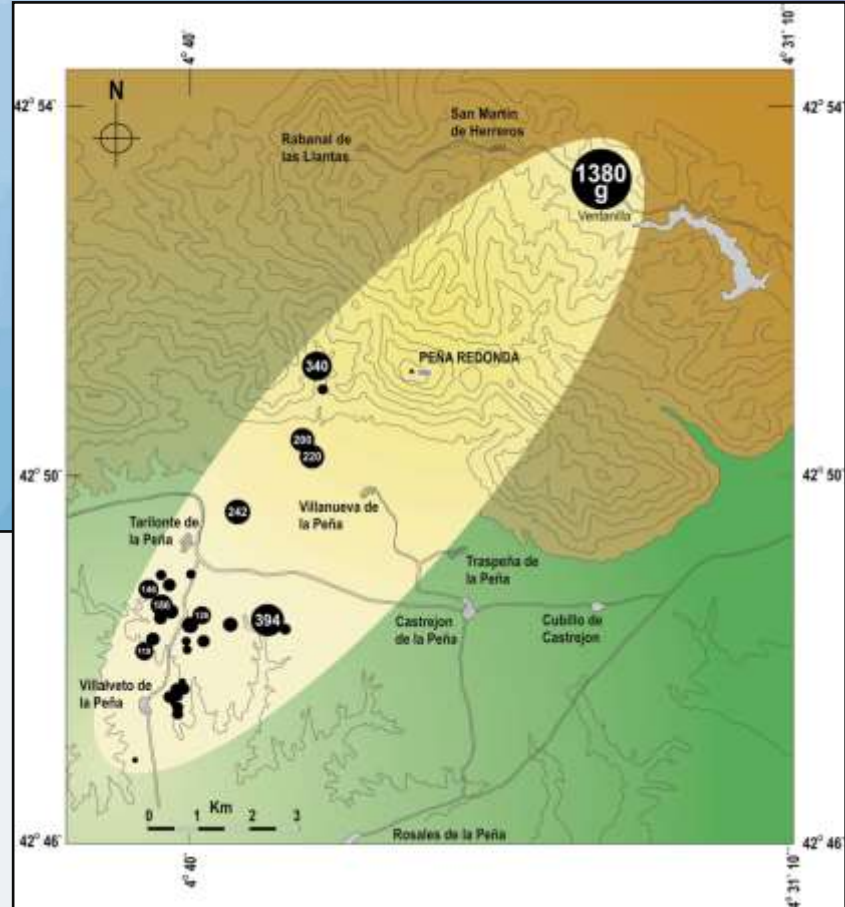
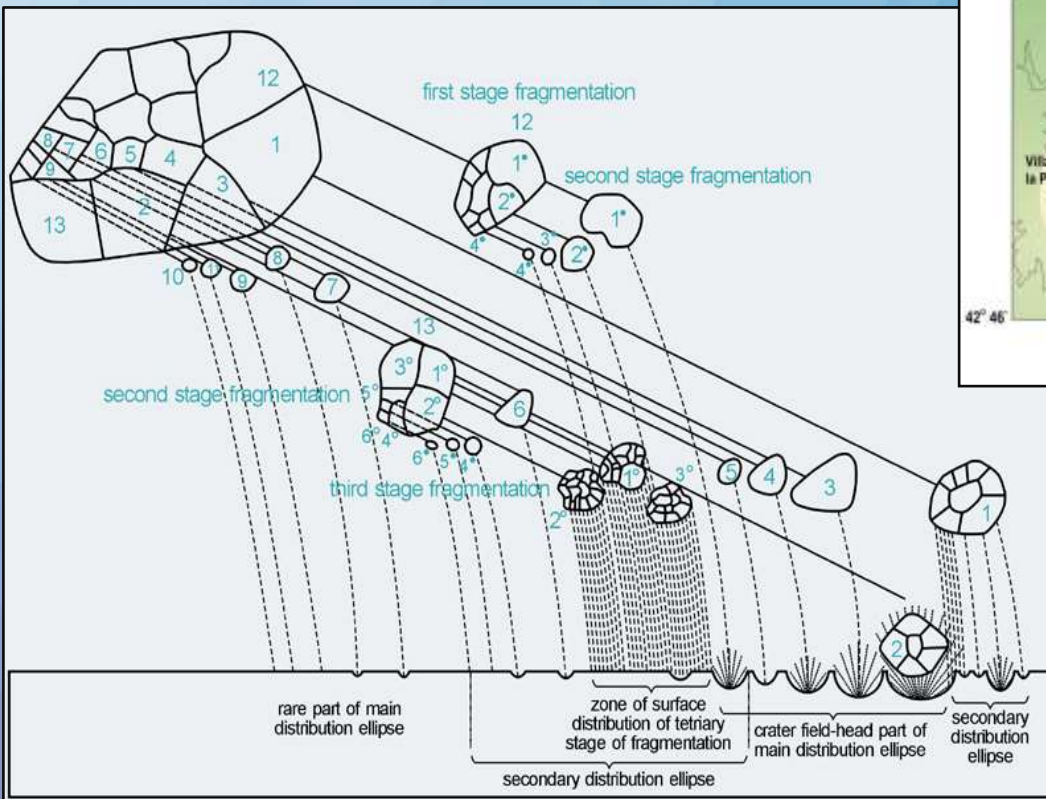


La caiguda a la Terra



Uns pocs segons de ‘terror’









Com es reconeixen?

26/02/2016

No Iliguen amb la geologia de l'entorn



N



Crosta de fusió i interior de diferent color.

E





Crosta de fusió trencada per contracció.

Regmalits.





Línes de vol.





T
1CM



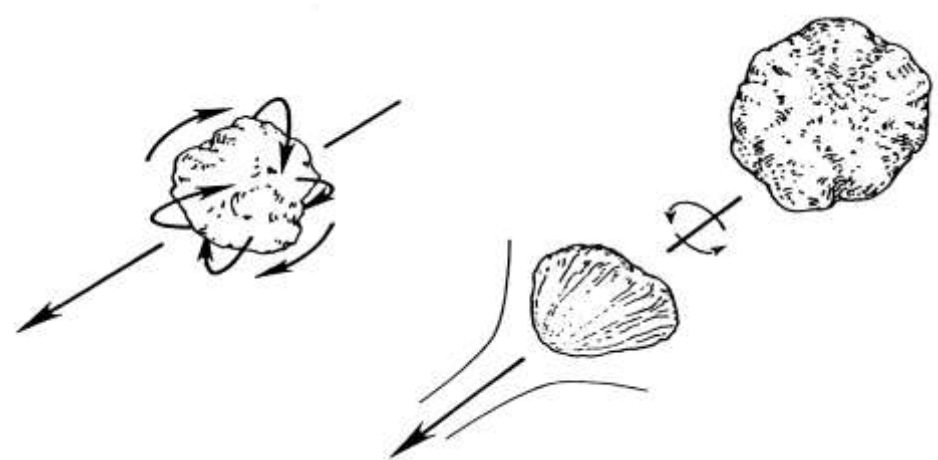
Escuma



T
1CM



Orientació



Angulosos però arrodonits





Còndruls visibles



Atrauen un imant





No són meteorits

Recuperació de meteorits

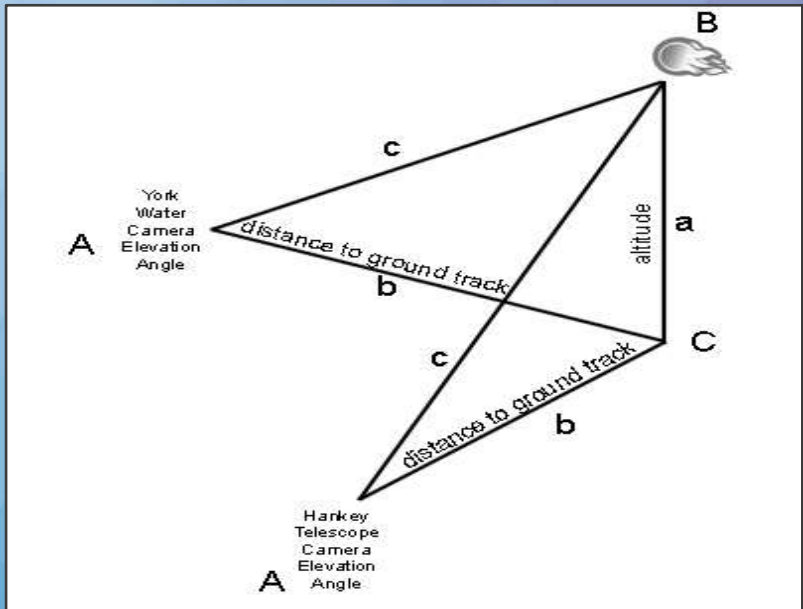


Caigudes



Troballes

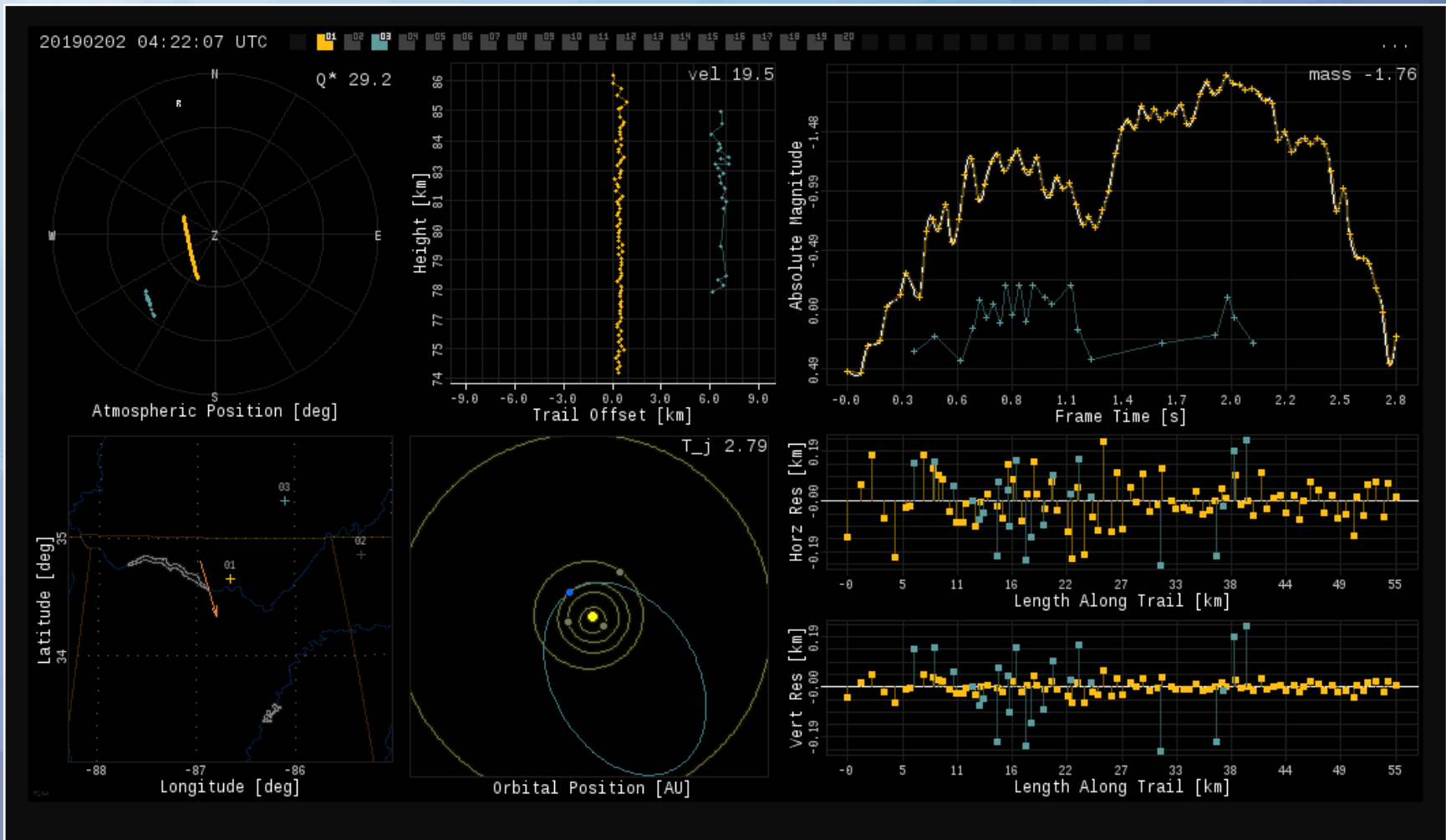




2010/10/09 00:55:33.538 UTC FOLGUEROLES_AAO_SPMN_W



NASA's All Sky Fireball Network





RED DE INVESTIGACIÓN SOBRE BÓLIDOS Y METEORITOS

- Bólido del 11 de diciembre de 2018 (SPMN111218, 1h37m32s+1s T.U.C.)

Registro: Observatorio de Calar Alto, La Sagra, La Hita y la estación de Sevilla (J.M. Madiedo/UHU-USEV) y del Observatorio de La Muela (J.A. de los Reyes y S. Pastor).

Magnitud absoluta: -8±1

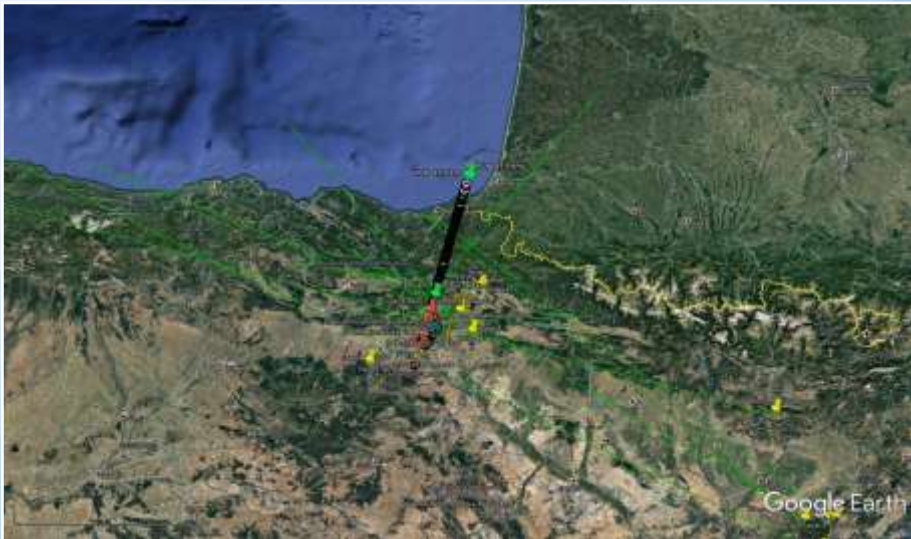
Origen: Esporádico

Rango de observación: Andalucía, Aragón, Castilla-La Mancha, Comunidad Valenciana, Comunidad de Madrid y Región de Murcia.



(El bolido SPMN111218 visto desde La Muela (J.A. de los Reyes y S. Pastor/SPMN).





Recerca sistemàtica

The accumulation rate of meteorite falls at the Earth's surface: The view from Roosevelt County, New Mexico

MICHAEL E. ZOLENSKY,¹ GORDON L. WELLS² AND HELEN M. RENDELL³

¹Planetary Science Branch, NASA, Johnson Space Center, Houston, TX 77058

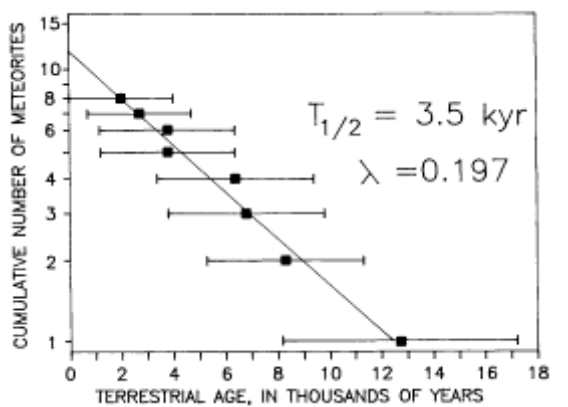
²School of Geography, University of Oxford, Mansfield Road, Oxford OX1 3TB, England

³The Geography Laboratory, University of Sussex, Brighton BN1 9QN, England

(Received 14 February 1989; accepted in revised form 25 September 1989)

Abstract—The discovery of 154 meteorite fragments within an 11 km² area of wind-excavated basins in Roosevelt County, New Mexico, permits a new calculation of the accumulation rate of meteorite falls at the Earth's surface.

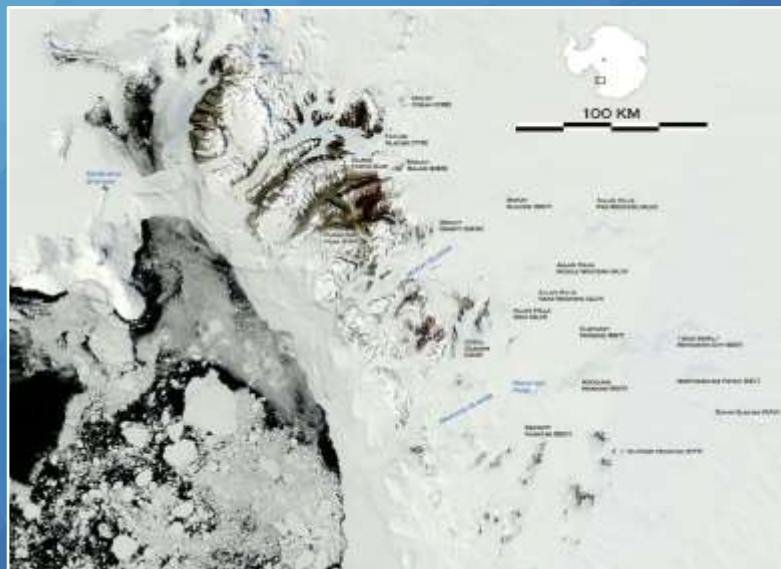
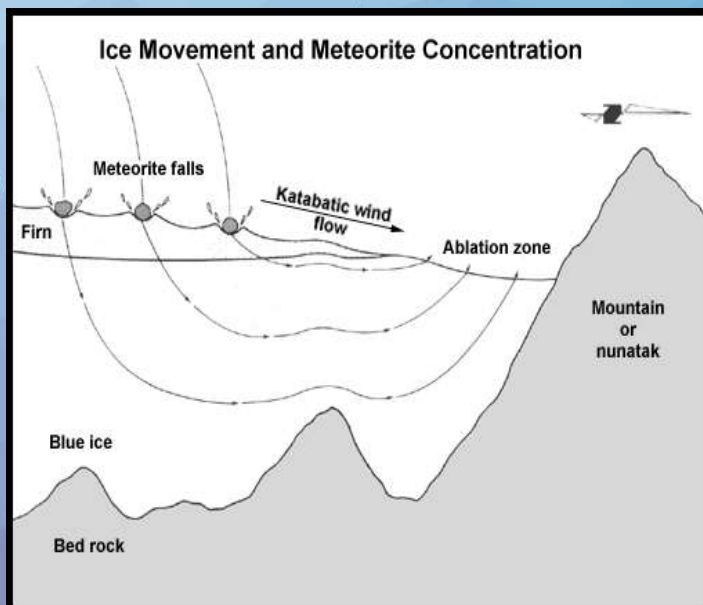
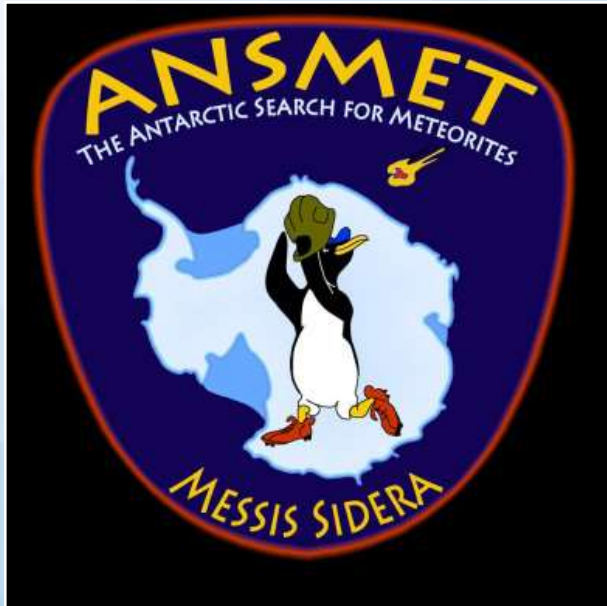
Thermoluminescence dating of the coversand unit comprising the prime recovery surface suggests the maximum terrestrial age of the meteorites to be about 16.0 ka. The 68 meteorite fragments subjected to petrological analyses represent a minimum of 49 individual falls. Collection bias has largely excluded carbonaceous chondrites and achondrites, requiring the accumulation rate derived from the recovered samples to be increased by a factor of 1.25. Terrestrial weathering destroying ordinary chondrites can be modelled as a first-order decay process with an estimated half-life of 3.5 ± 1.9 ka on the semiarid American High Plains. Having accounted for the age of the recovery surface, area of field searches, pairing of finds, collection bias and weathering half-life, we calculate an accumulation rate of 9.4×10^2 falls/a per 10⁶ km² for falls >10 g total mass. This figure exceeds the best-constrained previous estimate by more than an order of magnitude. One possible reason for this disparity may be the extraordinary length of the fall record preserved in the surficial geology of Roosevelt County. The high accumulation rate determined for the past 16 ka may point to the existence of periods when the meteorite fall rate was significantly greater than at present.



obtained for the accumulation rate over the past 16 ka for meteorites (falls) with total weights of at least 10 g:

$$C = 9.4 \times 10^2 \text{ falls/a per } 10^6 \text{ km}^2$$

A more complete understanding of the meteorite fall rate in relation to the total recovered fall mass can be obtained from a plot of these values for the data derived from the 49 Roosevelt









2008

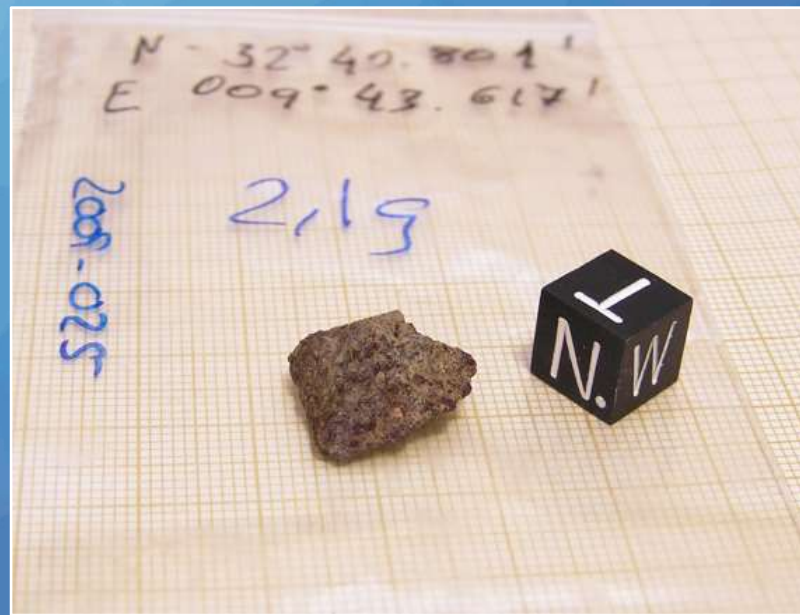
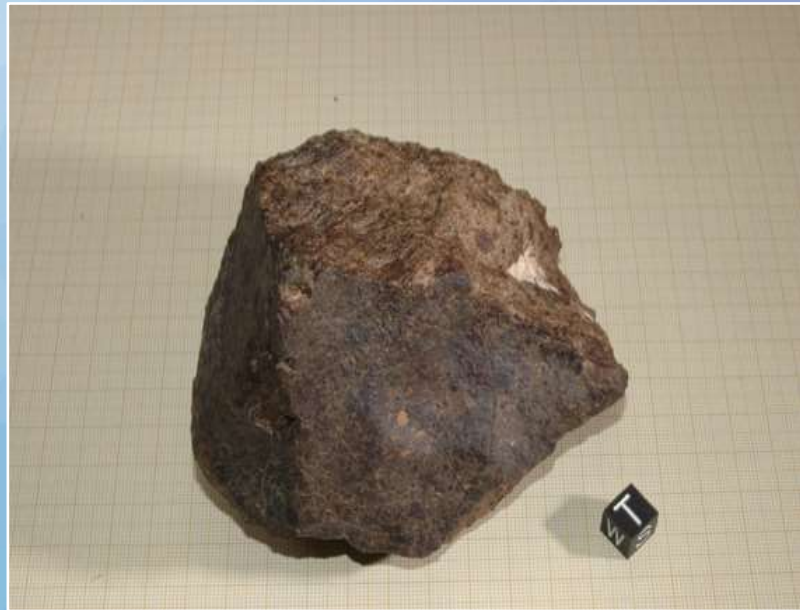


2015





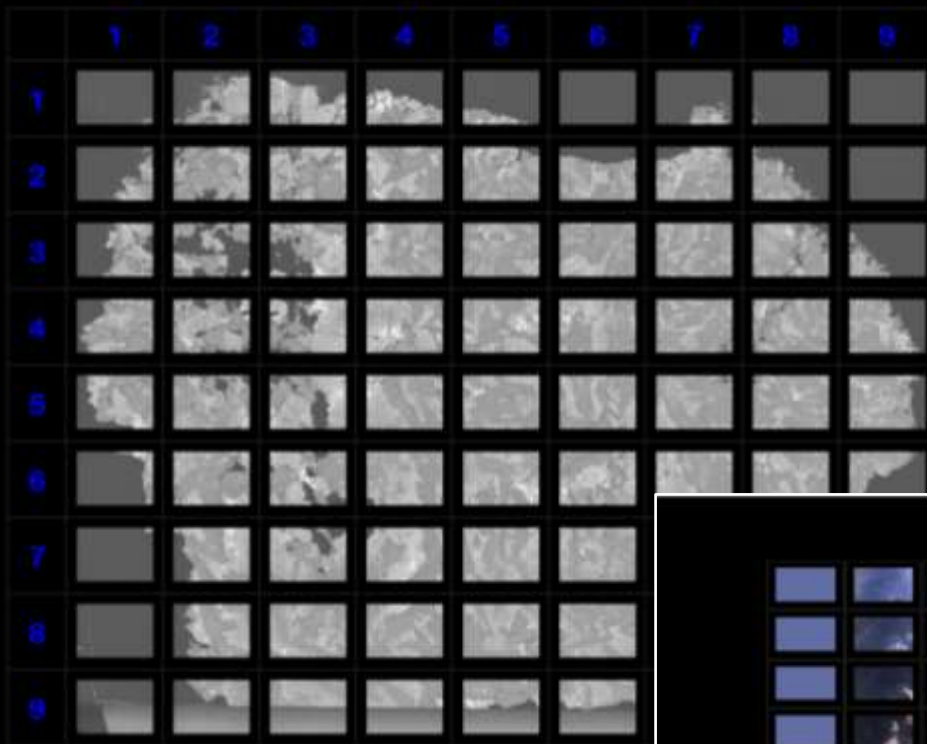




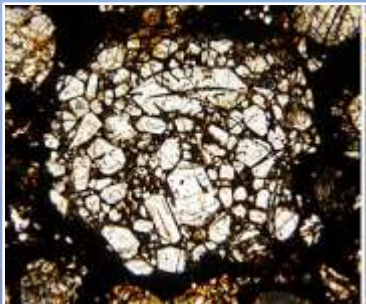


Mapa microscopi electrònic

Resolució: 100 nm



Microscopi Òptic (Llum polaritzada)





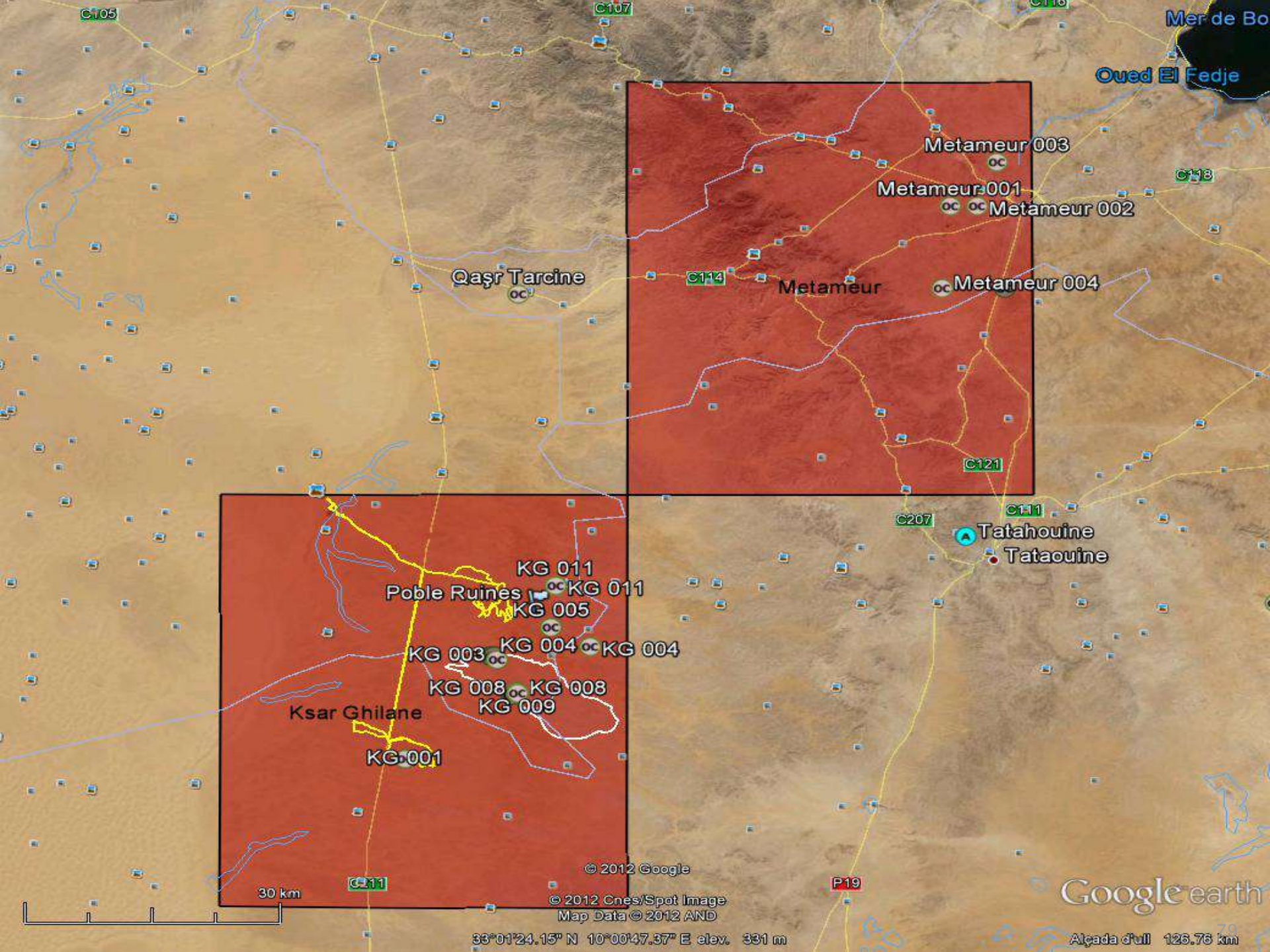
Search the Meteoritical Bulletin Database

Last update: 2 Feb 2019

Search for:	Search type:	Search limits:	Display:	Publication:
<input type="checkbox"/> Names <input type="checkbox"/> Text <input type="checkbox"/> Places <input type="checkbox"/> Classes <input type="checkbox"/> Year	<input type="checkbox"/> Contains <input type="checkbox"/> Starts with <input type="checkbox"/> Exact <input type="checkbox"/> Sounds like <input type="checkbox"/> Has photo	All countries AP classes NonAntarctic <input type="radio"/> Falls <input type="radio"/> Non-NWAs Has stereofield Has photo	Link to Google Earth Sort by name 50 lines/page Normal table <input type="checkbox"/> Limit to approved meteorite names	All bulletins What's new in the last: (no time limit)
Search text:		<input type="button" value="Search"/> <input type="button" value="Reset"/>		

Los Vientos 250

Basic information	Name: Los Vientos 250 This is an OFFICIAL meteorite name. Abbreviation: Lv 250 Observed fall: No Year found: 2018 Country: Chile Mass: 95.8 g
Classification history:	Recommended: Diogenite [explanation] This is 1 of 418 approved meteorites classified as Diogenite. [show all] Search for other: Achondrites , Diogenites , and HED achondrites
Comments:	Approved 2 Dec 2018
Writeup [edit]	Writeup from MB 107: Los Vientos 250 (Lv 250) 24°41.093'S, 69°50.533'W Antofagasta, Chile Find: 8 Feb 2018 Classification: HED achondrite (Diogenite) Physical characteristics: Single stone partially covered by fusion crust with flow lines. Sawn surface shows a yellowish-orange interior with abundant opaque grains and metal. Petrography: Thin section shows pyroxene (95 vol%) grains up to 6 mm in the long dimension with abundant shock veins. Chromite spinel grains (3 vol%) are well scattered through the sample and measure up to 3 mm and are usually associated with polymorphous FeS and Ti-spinel. Geochemistry: Low-Ca pyroxene composition in the range $F_{23.2-33.2}W_{0.9-1.1}$ (mean $F_{23.4 \pm 0.2}W_{0.9 \pm 0.2}$, N=8), with $FeO/MnO=26.0 \pm 1.2$. Mean olivine composition is $Fa_{35.3 \pm 0.2}$ (N=2). Chromite exhibits Cr/(Cr+Al) values of 0.82 ± 0.05 (N=1).
Data from: MB107 Table 0 Line 0:	State/Prov/County: Antofagasta Date: 8 Feb 2018 Latitude: 24°41.093'S Longitude: 69°50.533'W Mass (g): 98.8 Pieces: 1 Class: Diogenite Shock stage: High Weathering grade: low Classifier: J. Lloreta, UPC Type spec mass (g): 21 Type spec location: UPC Main mass: David Allepuz Finder: David Allepuz-José Vicente Casado-Javier Alvarez Comments: Field name: Met-2018-007; submitted by David Allepuz
Institutions	UPC- Institut de Techniques Energétiques, Universitat Politècnica de Catalunya Diagonal 647, ed. ETSEIB, 08028 Barcelona, Spain, Spain (institutional address; updated 3 May 2015)



METEORITICS & PLANETARY SCIENCE

EDITOR: A. J. Timothy Jull

ASSOCIATE EDITORS

Natalia Artemieva
Gretchen Benedix
Adrian Brearley
Donald Brownlee
Marc Caferri

Nancy Chabot
Alexander Deutsch
Christine Floss
Ian Franchi
Michael Gaffey
Cyrus Goodrich

Walter Häubner
Christian Koeberl
Christine Floss
Randy Korotev
Ingo Leya
Ian Lyons
Gordon Osinski

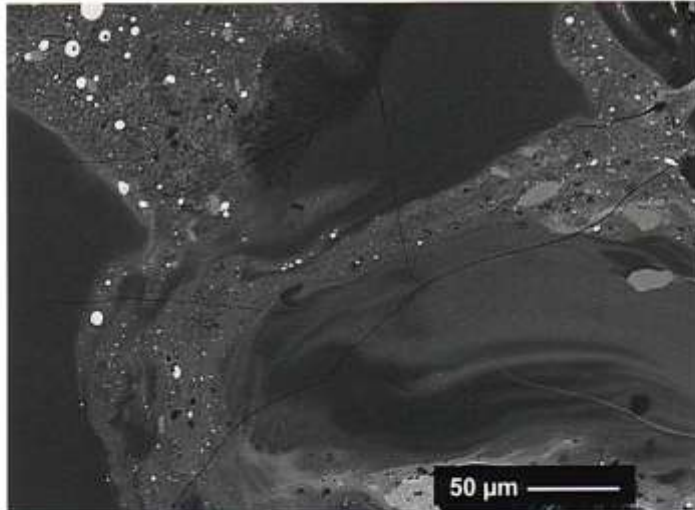
Carle Pieters
David Pršařík
Uwe Reimold
Alexander Ruzicka
Scott Sandford

Edward Scott
Gopalan Srinivasan
John Spray
Akira Yamaguchi
Michael Zolensky

Volume 48

Number 3

2013 March



A BSE image of a large aplitic-like melt structure found in the Ksar Ghilane 002 shergottite.

Asteroids • Comets • Craters • Interplanetary Dust • Interstellar Medium Lunar Samples • Meteors • Meteorites • Natural Satellites • Planets • Tektites
Origin and History of the Solar System



Meteoritics & Planetary Science 1–21 (2013)
doi: 10.1111/maps.t2074

The Ksar Ghilane 002 shergottite—The 100th registered Martian meteorite fragment

Jordi LLORCA^{1,2*}, Julia ROSZJAR³, Julia A. CARTWRIGHT^{4,6}, Addi BISCHOFF⁵, Ulrich OTT^{4,5}, Andreas PACK⁶, Silke MERCHEL⁷, Georg RUGEL⁷, Leticia FIMIANI⁸, Peter LUDWIG⁸, José V. CASADO⁹, and David ALLEPUZ⁹

¹Institut de Techniques Energétiques, Universitat Politècnica de Catalunya, Diagonal 647, ed. ETSEIB, Barcelona 08028, Spain

²Centre for Research in Nanoengineering, Universitat Politècnica de Catalunya, Pius XII 2, Barcelona 08028, Spain

³Institut für Planetologie, Westfälische Wilhelms-Universität Münster, Wilhelm-Klemm-Str. 10, Münster 48149, Germany

⁴Max-Planck-Institut für Chemie, Hahn-Meitner-Weg 1, Mainz 55128, Germany

⁵University of West Hungary, Szombathely 9700, Hungary

⁶Universität Göttingen, Geowissenschaftliches Zentrum, Goldschmidtstraße 1, Göttingen 37077, Germany

⁷Heimholz-Zentrum Dresden-Rossendorf, Dresden 01314, Germany

⁸Teknische Universität München, Garching 85748, Germany

⁹Sant Julià de Vilatorta Observatory, Barcelona, Spain

*Present address: Division of Geological and Planetary Sciences, California Institute of Technology, MC 100-23,

1200 E. California Blvd., Pasadena, California 91125, USA

Corresponding author. E-mail: jordi.llorca@upc.edu



4 campanyes a Tunísia

9 meteorits nous
12.722 grams
231 exemplars
1 nova area de distribucio

1 meteorit de Mart

6 campanyes a Xile

325 meteorits nous
91300 grams
980 exemplars
2 el·lipsis de caiguda

1 carbonàcia
2 metal·lics
2 ureilites
2 diogenites



Classif	
H	115
L	173
LL	50
CI	0
CM	2
CB	1
CV	21
CO	13
CK	7
CR	0
CH	0
EH	0
EL	7
R	7
K	0
ACA	2
LOD	2
WIN	5
SHE	12
NAK	7
CHA	2
MAR-BB	0
OPX	0
LUN-IB	6
LUN-MB	0
HOW	7
EUC	18
DIO	15
ANG	10
BRA	8
AUB	10
URE	9
MS	9
PAL-GP	2
PAL-ES	0
PAL-PX	0
ATX	2
I	17
II	2
III	3
IV	5
UNG	1
	0

550

Tipus	
COND	401
ACOND	126
METAL	37
MET-ROC	19
NO-MET	2
	585

Trobat/caigut	
Trobat	179
Caigut	46
	225

Alteració/Sub.	
1	0
2	2
3	30
3.0	3
3.1	0
3.15	0
3.2	18
3.3	2
3.4	0
3.5	4
3.6	4
3.7	2
3.8	9
3.9	6
4	108
5	155
6	53
7	4
A	24
B	3
C	0
D	0
E	0
F	0
G	0

427



UNIVERSITAT DE
BARCELONA
Col·lecció de meteorits

620
exemplars



Preguntas ?



Moltes gràcies
i
a tocar meteorits!

